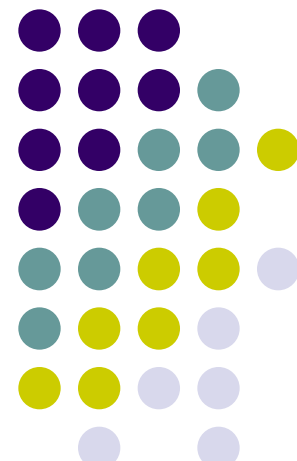


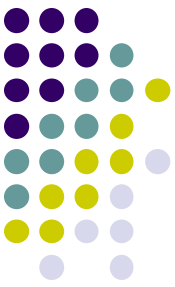
# Level Set (I)

Hongxin Zhang

2011-05-12

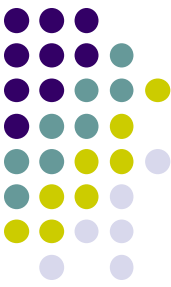
State Key Lab of CAD&CG  
Zhejiang University





# outline

- 数学基础
- Level Set方法
- Level Set方法数值解法
- Level Set在图像图形中的应用



# survey

- Level set 与 Poisson方程的比较
  - 一般的讲，level set的应用和效果都要更好！
  - 但是level set由于需要较多数学，所以工程上不被普遍接受。
  - Poisson方程是线性的，而level set方程一般都是非线性的，需要稳定的算法求解。



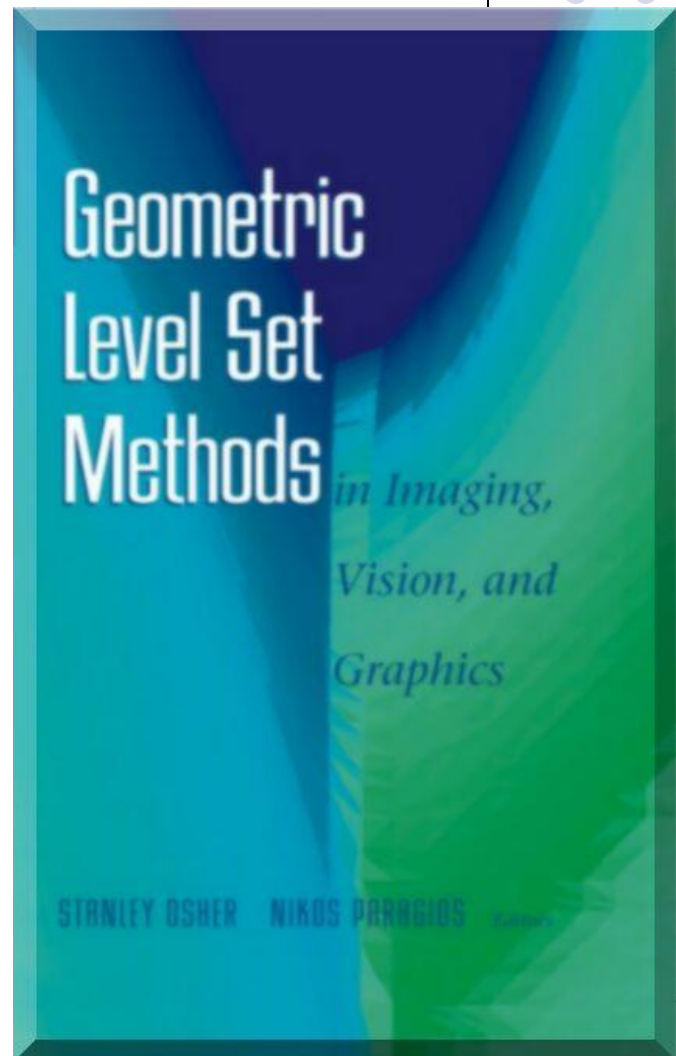
[Http://cermics.enpc.fr/~paragios/book/book.html](http://cermics.enpc.fr/~paragios/book/book.html)

Nikos Paragios  
<http://cermics.enpc.fr/~paragios>

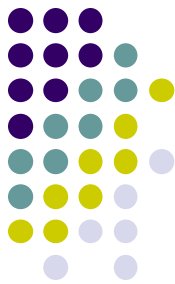
Atlantis Research Group  
Ecole Nationale des Ponts et Chaussees  
Paris, France

Stanley Osher  
<http://math.ucla.edu/~sjo>

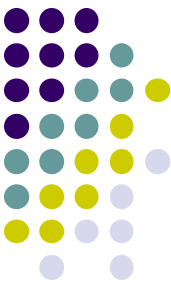
Department of Mathematics  
University of California, Los Angeles  
USA



# 目录



- 数学基础
  - 微分几何简介
  - 数学形态学
  - 隐函数, 距离函数
- Level Set 方法概念
- 数值解法
  - 向上差分法
  - Hamilton-Jacobi ENO
  - Hamilton-Jacobi WENO
  - TVD Runge-Kutta
- Level set 与变分方程的关系



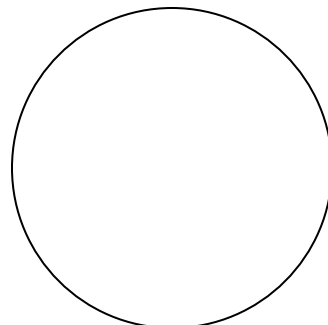
# 数学基础一 曲线的微分几何

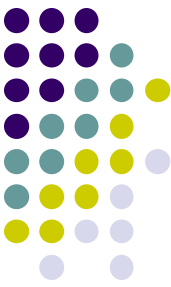
- 映射  $C(p)$ :  $[a, b]$  in  $\mathbf{R} \rightarrow \mathbf{R}^2$
- 定义了一个平面的曲线,  $p$ 是参数, 对每一个  $p_0$  in  $[a, b]$ , 我们得到曲线上的一点

$$C(p_0) = [x(p_0), y(p_0)]$$

- 正则曲线: 如果  $C'(p) = [x'(p), y'(p)] \neq 0$ 
  - 例  $C(p) = [\cos(p), \sin(p)]$ ,  $p \in [0, 2\pi]$

圆





# 数学基础—曲线的微分几何

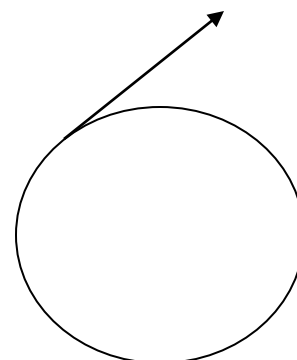
- 曲线的切线

$$C'(p) = [x'(p), y'(p)] = \frac{\partial C}{\partial p}$$

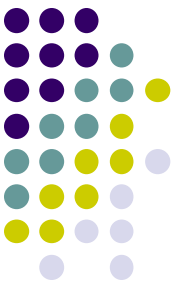
- 弧长参数

- 如果曲线的参数满足

$$\left\| \frac{\partial C}{\partial p} \right\| = 1$$



$p$ 表示曲线上以某一点为标准的弧长



# 数学基础—曲线的微分几何

- 弧长

$$L(t_0, t_1) = \int_{t_0}^{t_1} [(x'(t))^2 + (y'(t))^2]^{1/2} dt$$

- 弧长参数:  $s$

$$\langle C'(s), C'(s) \rangle = 1$$

求导



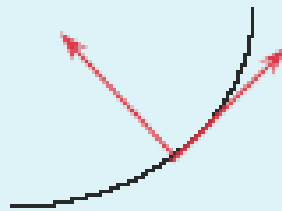
$$\langle C'(s), C''(s) \rangle = 0$$



# 数学基础—曲线的微分几何

- 曲率

$$\kappa = \|C''(s)\|$$

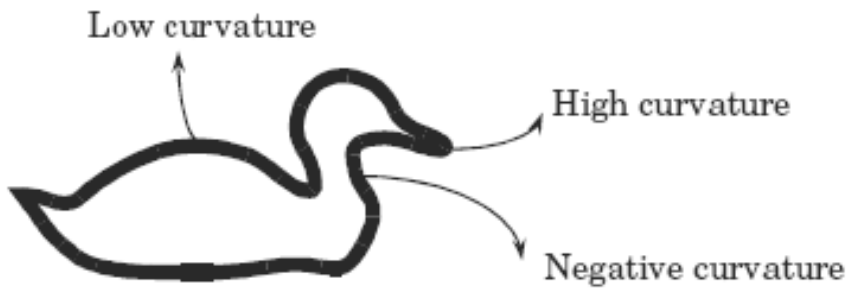


- 假设  $T$  表示切线,  $N$  表示法线, 则

$$\frac{dC}{ds} = T \quad \frac{d^2C}{ds^2} = \kappa N$$

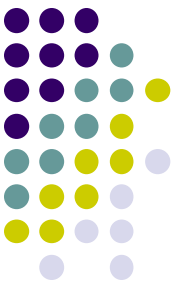
$$\left\| \frac{\partial C(s)}{\partial s} \right\| = 1$$

$$\langle C_s, C_{ss} \rangle = 0$$



$$C_s \perp C_{ss}$$

$$\kappa := \|C_{ss}\|$$



# 数学基础—曲线的微分几何

- **Frenet** 公式

$$\frac{dT}{ds} = \kappa N$$

$$\frac{dN}{ds} = -\kappa T$$



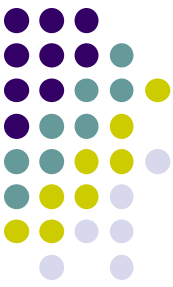
# 数学基础—曲线的微分几何

- 曲率的其他定义
  - 假设 $\theta$  为切线 $T$ 与 $x$ 轴之间的夹角, 则

$$K = \frac{d\theta}{ds}$$

- 隐式曲线的曲率  $C \equiv \{(x, y) : u(x, y) = 0\}$

$$K = \frac{u_{xx}u_y^2 - 2u_xu_yu_{xy} + u_{yy}u_x^2}{(u_x^2 + u_y^2)^{3/2}}$$



# 数学基础一 曲线的微分几何

- 曲率的性质
  - 旋转, 平移不变
  - 缩放要变化





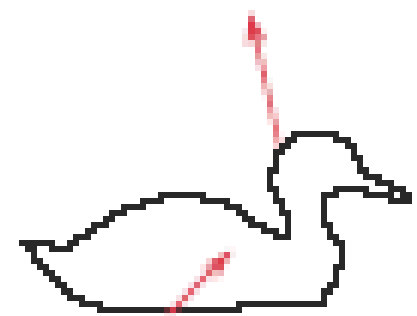
# 数学基础—曲线的微分几何

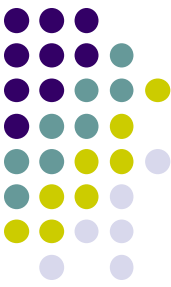
- 隐式曲线的法向量  $u(x, y) = 0$

$$N = +(-) \frac{\nabla u}{\|\nabla u\|}$$

- 因为 $T$ 和 $N$ 互相垂直，所以平面上任何曲线都可以用曲线上任何一点的 $T$ 和 $N$ 的线性组合来表示

$$\frac{\partial C}{\partial t} = \alpha T + \beta N$$

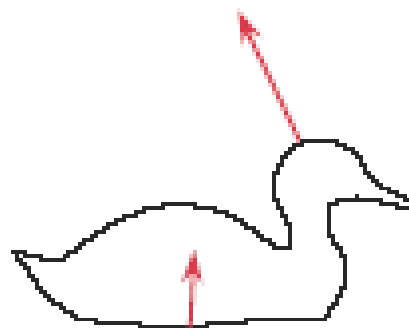


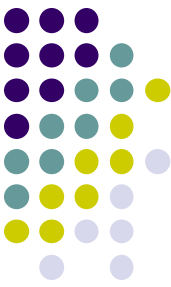


# 数学基础—曲线的微分几何

- 如果只考虑几何形状的变化，那其变化只跟法线方向的变化有关系，则有

$$\frac{\partial C}{\partial t} = \beta N$$

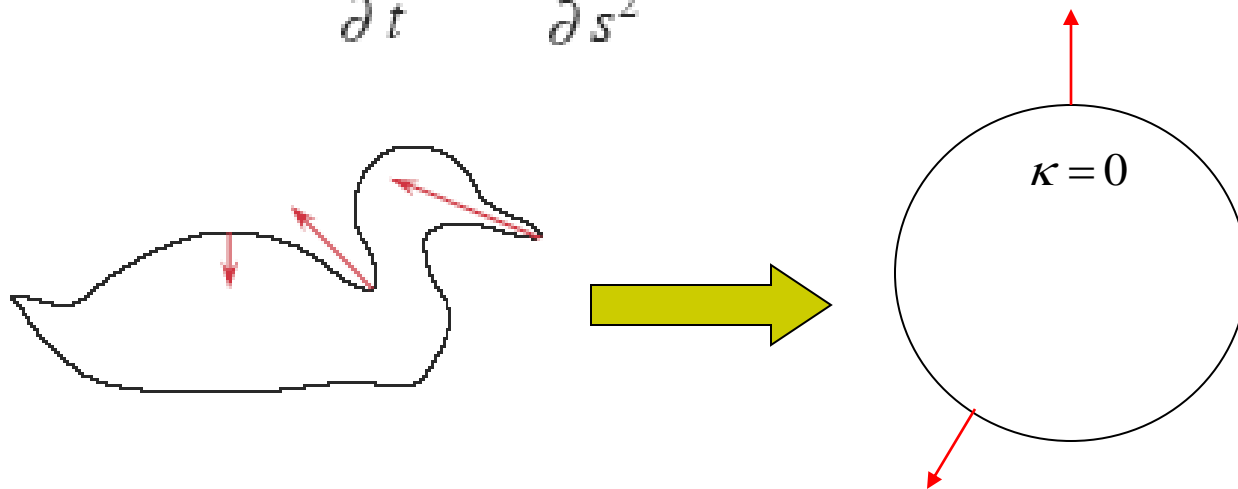




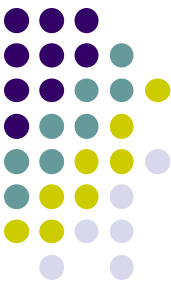
# 数学基础一 曲线的微分几何

- 例：沿着曲率变化最大方向的曲线变形

$$\frac{\partial C}{\partial t} = \frac{\partial^2 C}{\partial s^2} = \kappa \bar{N}$$

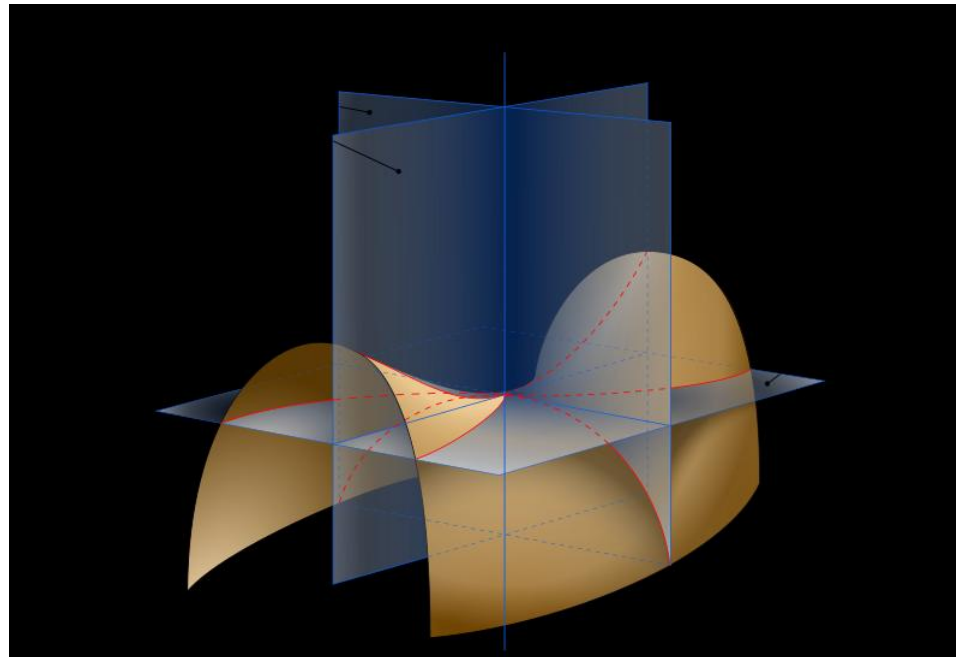


最后变化为曲率都为常数的曲线停止，即圆

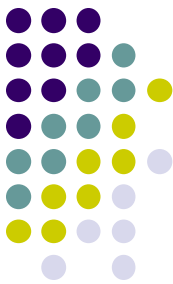


# 数学基础一曲面的微分几何

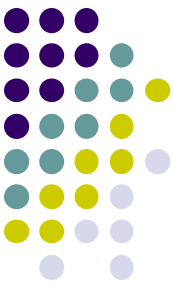
- 平均曲率和高斯曲率
  - 每个正则曲面都有两个主曲率。
  - 这两个的平均值就是 **平均曲率**，两个的积是 **高斯曲率**。



# 目录

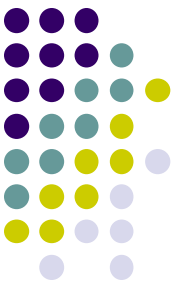


- 数学基础
  - 微分几何简介
  - 数学形态学
  - 隐函数, 距离函数
- Level Set 方法概念
- 数值解法
  - 向上差分法
  - Hamilton-Jacobi ENO
  - Hamilton-Jacobi WENO
  - TVD Runge-Kutta
- Level set 与变分方程的关系



# 数学基础—数学形态学

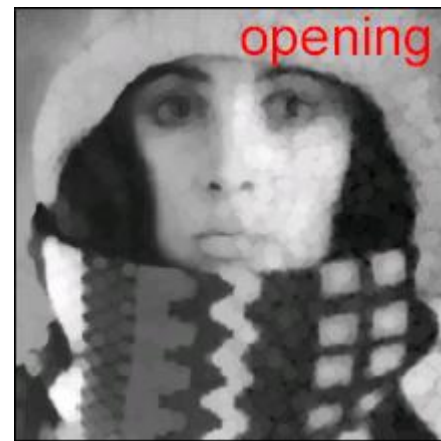
- 是一个经典的基于几何的理论
- 广泛应用于图像处理



# 形态算子

- 一组空间滤波操作
- 用于改变二值区域的形状
  - 腐蚀：减少物体边界的象素数
  - 膨胀：增加物体边界的象素数
  - 复合方法
    - 开：腐蚀，然后膨胀
    - 闭：膨胀，然后腐蚀

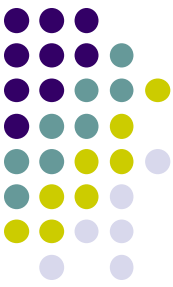
**Original Image**





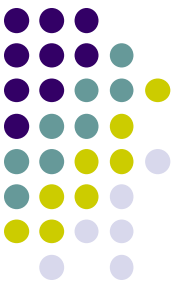
# 膨胀与腐蚀（Dilation, Erosion）

- 数学形态学里面最重要的操作
- 腐蚀将图像的尺寸减少
- 膨胀增加图像的尺寸
- 可以用来消除图像上小的亮斑噪声和不规则的边



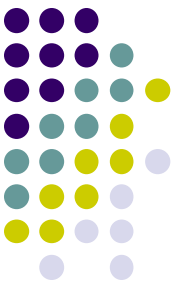
# 腐蚀 (续)

- 定义：物体的颜色是白，背景是黑
- 定义腐蚀模板为
  - 1 1 1
  - 1 1 1
  - 1 1 1
- 将模板与图像进行加操作
- 如果有，则结果为1，否则为0



# 腐蚀（续）

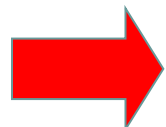
- 模板的效果相当于去掉物体边界处的单个象素
- 4种情况：
  - 当前处理象素为1， 邻域象素为1 → 1
  - 当前处理象素为0， 邻域象素为1 → 0
  - 当前处理象素为0， 邻域象素为1、0的混合 → 0
  - 当前处理象素为1， 邻域象素为1、0的混合 → 1



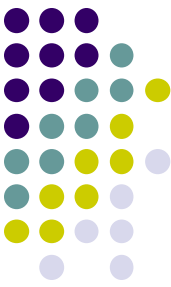
# 腐蚀 (续)



原始图像

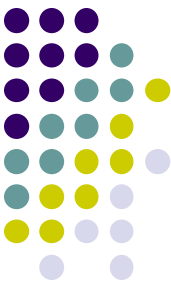


腐蚀后的图像 腐蚀两次



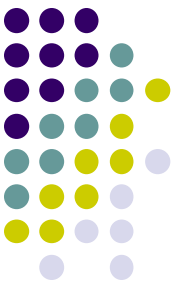
# 膨胀

- 膨胀是腐蚀的逆操作
- 模板文件是
  - 0 0 0
  - 0 0 0
  - 0 0 0
- 其效果相当于在物体的边界添加单个象素



# 膨胀（续）

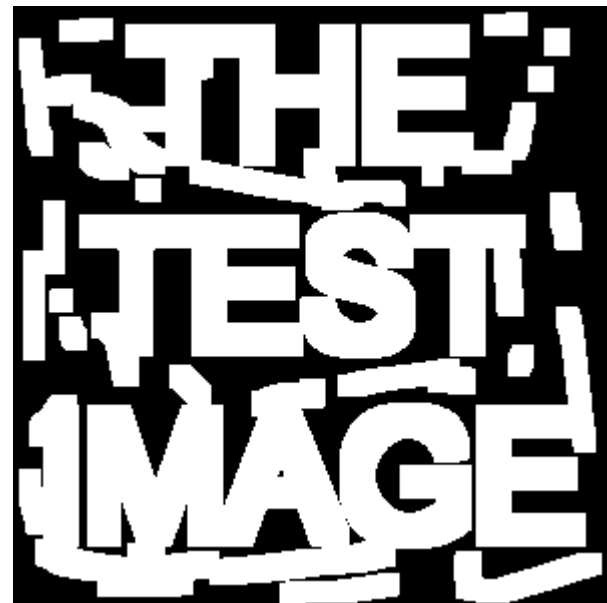
- 4种情况
  - 当前处理象素为0, 邻域象素为0—» 0
  - 当前处理象素为1, 邻域象素为1—» 1
  - 当前处理象素为1, 邻域象素为1、0的混合—» 1
  - 当前处理象素为0, 邻域象素为1、0的混合—» 1
- 逻辑操作算子是Or



# 膨胀 (续)



原始图像



膨胀膨胀圈像图像

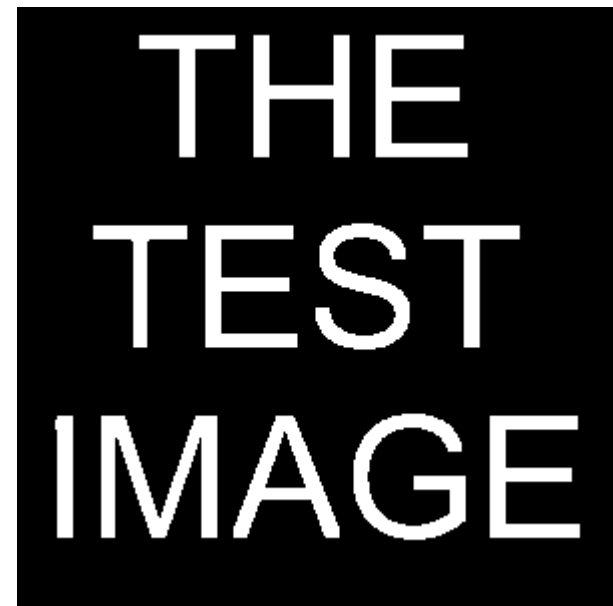


# 开操作

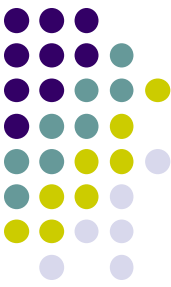
- 开操作相当于先做腐蚀操作，再做膨胀操作
- 效果相当于去掉单个象素，但是保留原来的形状何尺寸。



原始图像

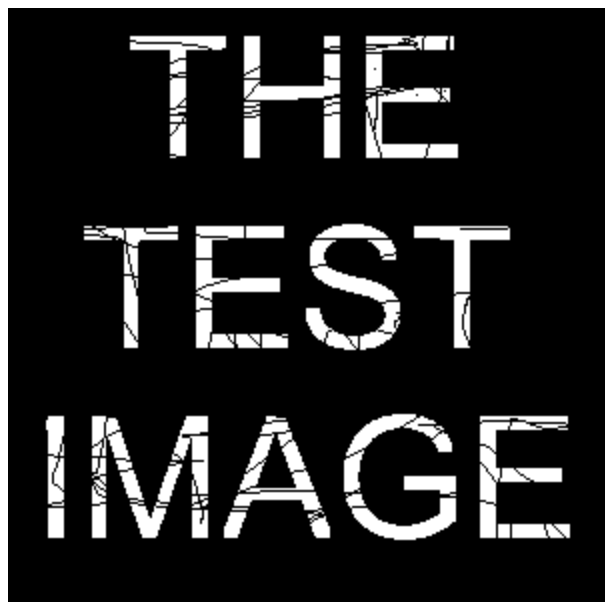


腐蚀两次，然后膨胀两次（开操作）



# 闭操作

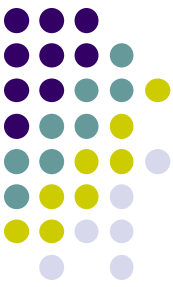
- 闭操作是开操作的相互操作
- 先膨胀，然后腐蚀
- 它可以用来填补一些小洞



原始图像

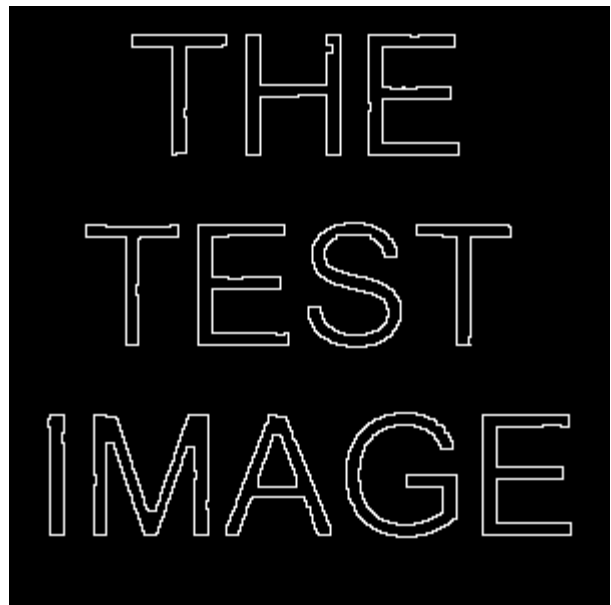


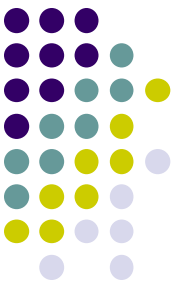
闭操作结果



# 轮廓抽取

- 先做腐蚀操作，再将腐蚀结果图像减去原始图像





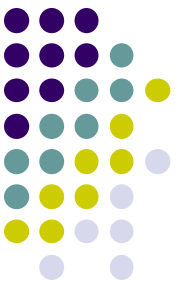
# 数学基础—数学形态学

$$A \oplus B := \{a + b, a \in A, b \in B\} = \bigcup_{b \in B} A_b$$

$$A \ominus B := (A^c \oplus B)^c = \bigcap_{b \in B} A_b$$

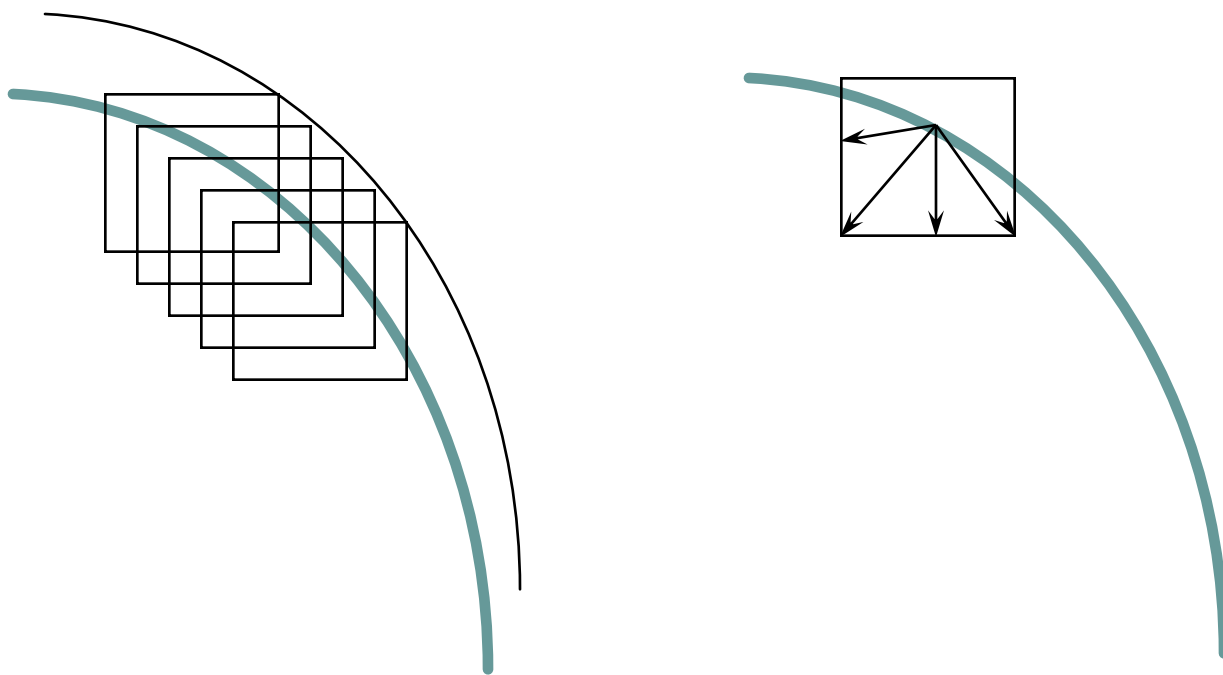
$$A \circ B := (A \ominus B) \oplus B = \bigcup_{\{y : B_y \subseteq A\}} A_y$$

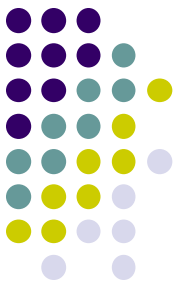
$$A \bullet B := (A \oplus B) \ominus B$$



# 数学基础—形态学与曲线演化

- $A \oplus (B \oplus C) = (A \oplus B) \oplus C$   
 $A \oplus (rB) = A \oplus r_1 B \oplus r_2 B \oplus \dots$





# 数学基础—形态学与曲线演化

- 法线速度的一般表示

$$\beta = \sup_{\theta} \{ r(\theta) \cdot N \}$$

- 例子

$$\beta = N$$

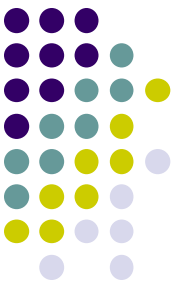
$B = disk$

$$\beta = \max \{ N_x, N_y \}$$

$B = diamond$

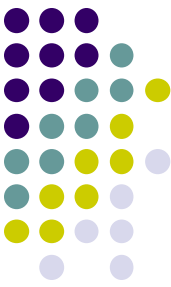
$$\beta = |N_x| + |N_y|$$

$B = square$



# 目录

- 数学基础
  - 微分几何简介
  - 数学形态学
  - 隐函数, 距离函数
- Level Set 方法概念
- 数值解法
  - 向上差分法
  - Hamilton-Jacobi ENO
  - Hamilton-Jacobi WENO
  - TVD Runge-Kutta
- Level set 与变分方程的关系



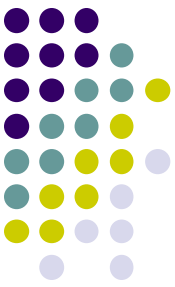
# 数学基础—隐函数

- 隐函数(implicit function):      自变量和因变量之间的法则是由一个方程式所确定

$$F(x, y) = 0$$

- 例子                           $y = y(x)$

$$x^2 + y^2 - 1 = 0$$



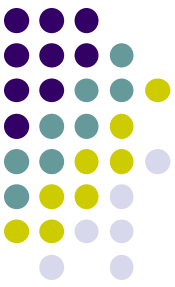
# 数学基础—距离场函数

- 距离函数定义

$$d(x) = \min(|x - x_l|) \quad \text{for all } x_l \in \partial\Omega$$

- 距离函数的性质

$$|\nabla d| = 1$$

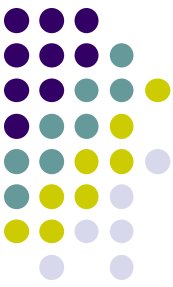


# 数学基础—距离场函数

- 带符号的距离场隐函数  $\Phi(x)$

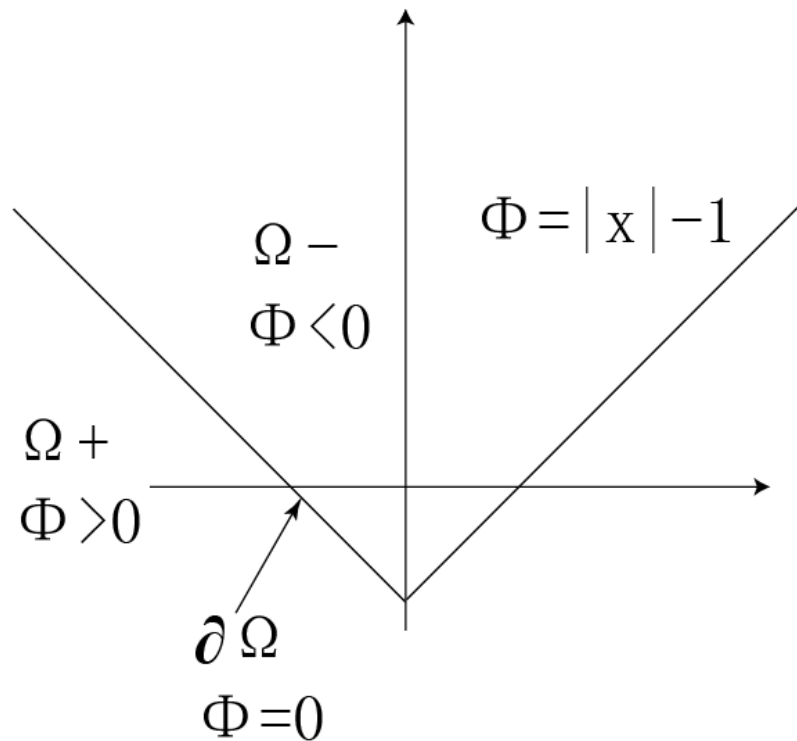
$$|\Phi(x)| = d(x)$$

$$\Phi(x) = \begin{cases} -d(x) & \text{for } x \in \Omega^- \\ 0 & \text{for } x \in \partial\Omega \\ d(x) & \text{for } x \in \Omega^+ \end{cases}$$

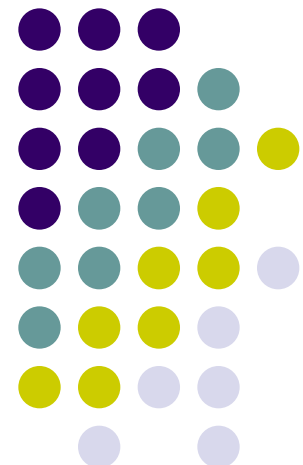


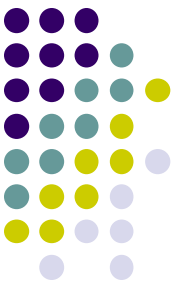
# 数学基础—距离场函数

- 例子  $\Phi(x) = |x| - 1$



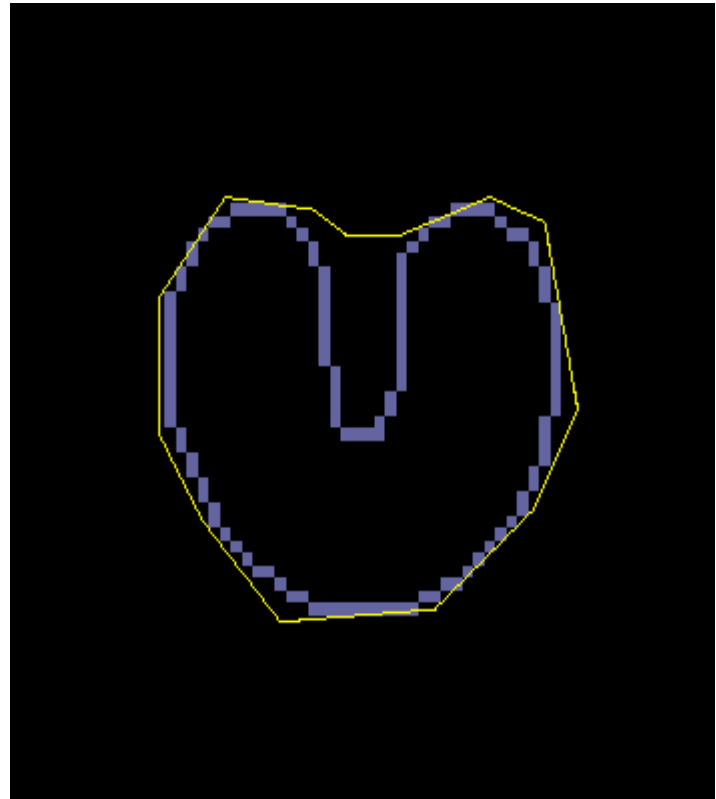
# 动态可变形模型

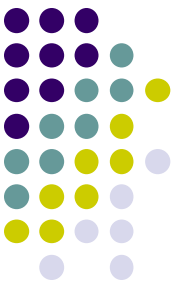




# What is Snake?

- Active contour model; parametric model
- Result from Kass, Witkin, and Terzopoulos, 1987
- Energy minimizing formulation
- Depends on its shape and location within image





- Example: cell nucleus
- Initialization: external
- Fitting: iterative
  - Using the current geometry (“Contour influence”) and the image contents (“Image influence”)
  - “Influence”:
    - scalar = energy
    - vector = force
  - Until the energy is minimum, or the forces are null

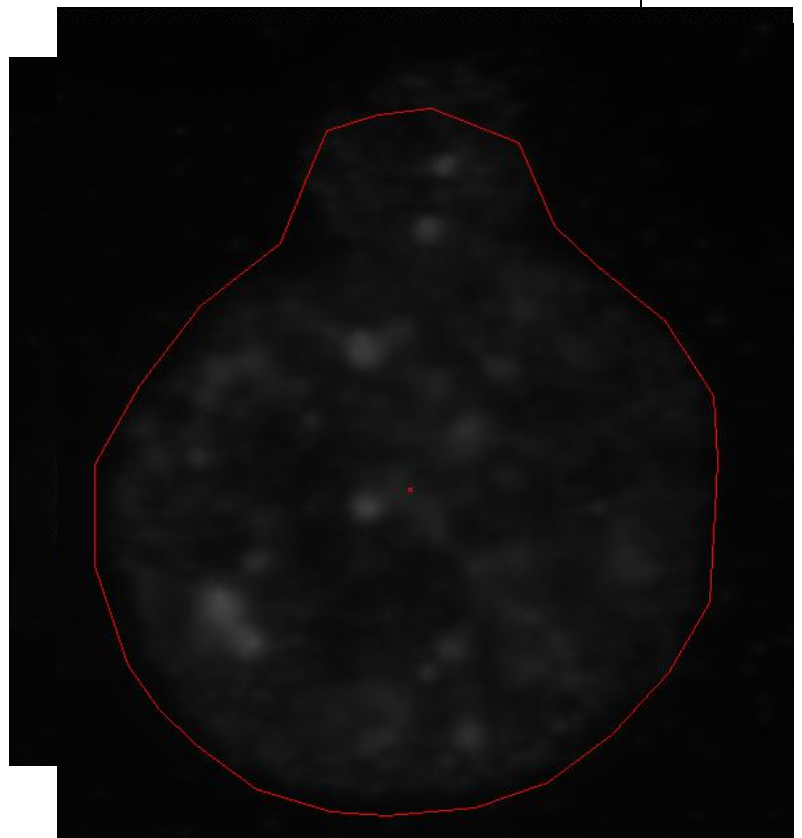


Image: Ian Diblik 2004

## Traditional Snake model

### □ Snake Model (1987) [Kass-Witkin-Terzopoulos]

- Planar parameterized curve  $C: \mathbb{R} \rightarrow \mathbb{R}^2$
- A cost function defined along that curve

$$E[(C)(p)] = \alpha \int_0^1 E_{int}(C(p))dp + \beta \int_0^1 E_{img}(C(p))dp + \gamma \int_0^1 E_{con}(C(p))dp$$

- The **internal term** stands for regularity/smoothness along the curve and has two components (resisting to stretching and bending)
- The **image term** guides the active contour towards the desired image properties (strong gradients)
- The **external term** can be used to account for user-defined constraints, or prior knowledge on the structure to be recovered
- The lowest potential of such a cost function refers to an equilibrium of these terms

## Active Contour Components

### □ The internal term...

$$E_{int}(C(p)) = w_{tension}(C(p)) \left| \frac{\partial C}{\partial p}(p) \right|^2 + w_{stiffness}(C(p)) \left| \frac{\partial^2 C}{\partial p^2}(p) \right|^2$$

- The first order derivative makes the snake behave as a membrane
- The second order derivative makes the snake act like a thin plate

### □ The image term...

$$E_{img}(C(p)) = w_{line}E_{line}(C(p)) + w_{edge}E_{edge}(C(p)) + w_{term}E_{term}(C(p))$$

- Can guide the snake to

- Iso-photos  $E_{line}(C(p)) = I(C(p))$  edges  $E_{edge}(C(p)) = |\nabla I(C(p))|^2$
- and terminations

### □ Numerous Provisions...: balloon models, region-snakes, etc...



# Traditional snake model

## Internal force

- Elastic force (alpha force)—pull inward



(a) Initial contour



(b) after executing 20 times

- Bending force (beta force) —smooth rather than shrinkage



(a) Initial contour



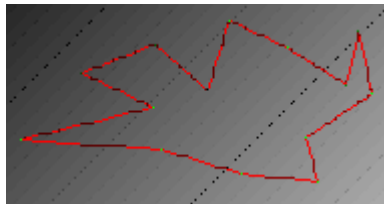
(b) after executing 20 times



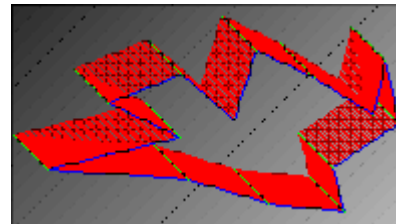
# Traditional snake model

## External force

- Image gradient force
- The main difference among snake models
- $F_{ext}$  in traditional snake model:  $F_{ext}^{(p)} = -\nabla E_{ext}$
- How to choose  $E_{ext}$  : take on smaller value at the boundaries



(a) Initial contour



(b) after executing 20 times

$$E_{ext}^{(1)}(x, y) = -|\nabla I(x, y)|^2 \quad E_{ext}^{(2)}(x, y) = -|\nabla[G(x, y) * I(x, y)]|^2$$

## Optimizing Active Contours

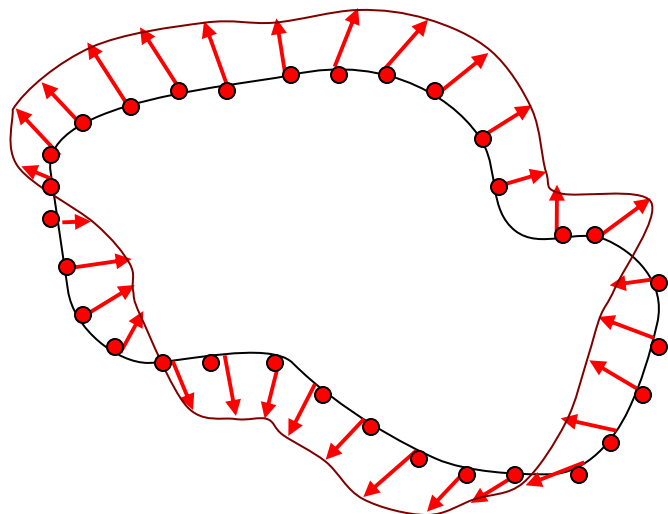
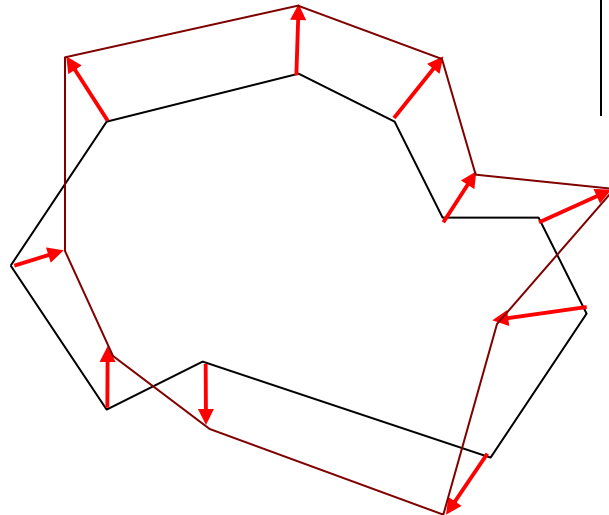
- Taking the Euler-Lagrange equations:

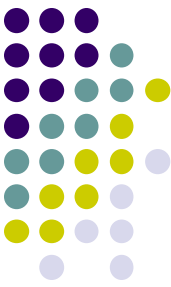
$$\alpha \left( w_{tension} \frac{\partial^2 C}{\partial p^2}(p) - w_{stiffness} \frac{\partial^4 C}{\partial p^4}(p) \right) - \beta \nabla E_{img}(C(p)) = 0$$

- That are used to update the position of an initial curve towards the desired image properties
  - Initial the curve, using a certain number of control points as well as a set of basic functions,
  - Update the positions of the control points by solving the above equation
  - Re-parameterize the evolving contour, and continue the process until convergence of the process...



- Geometric AC:
  - Stored as vertices
  - Each vertex is moved iteratively
- Parametric AC:
  - Stored as coefficients
  - Sampled before each iteration
  - Each sample is moved
  - New coefficients are computed (interpolation)



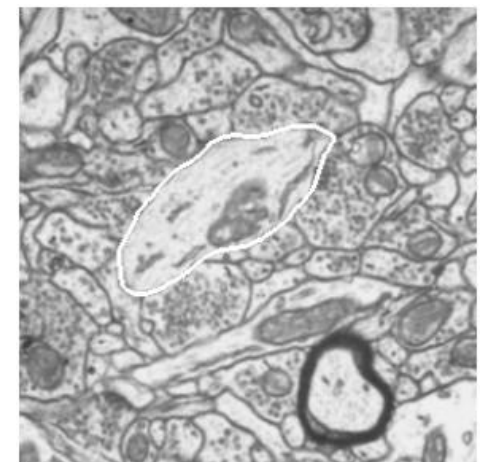


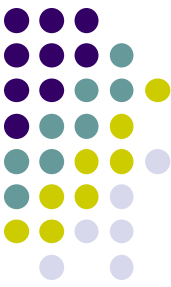
# 动态可变形模型

- 经典的可变形模型—snakes

- 假设：物体在图像中的边界是分段连续或光滑的，并且用参数表示为  $v(s) = (x(s), y(s))$ ,  $s \in [0,1]$
- 轮廓的能量约束表示为  $E(v) = S(v) + P(v)$ 
  - 其中  $S$  表示对边界线的内部约束， $P$  表示对边界线的外部约束
  - $S$  可以定义为  $S(v) = \frac{1}{2} \int_0^1 w_1(s) \left| \frac{\partial v}{\partial s} \right|^2 + w_2(s) \left| \frac{\partial^2 v}{\partial s^2} \right|^2 ds$  分别表示对曲线的张量和硬度的限制
  - $P$  可以定义为  $P(x, y) = -c |\nabla[G_\sigma * I(x, y)]|$  表示曲线被吸引到梯度大（可能是边界）的区域
- 上式的Euler-Lagrange方程为

$$-\frac{\partial}{\partial s} \left( w_1 \frac{\partial v}{\partial s} \right) + \frac{\partial^2}{\partial s^2} \left( w_2 \frac{\partial^2 v}{\partial s^2} \right) + \nabla P(v(s)) = 0$$





# 动态可变形模型

- 动态snake

- 经典的**snake**是一个静态问题，如果将问题的求解看作是曲线的演化，曲线变为  $v(s,t) = (x(s,t), y(s,t))$ ，其中  $t$  是演化参数，则上面问题可以化为

$$\mu \frac{\partial^2 v}{\partial t^2} + \gamma \frac{\partial v}{\partial t} - \frac{\partial}{\partial s} \left( w_1 \frac{\partial v}{\partial s} \right) + \frac{\partial^2}{\partial s^2} \left( w_2 \frac{\partial^2 v}{\partial s^2} \right) = -\nabla P(v(s,t))$$

该式的稳定解就是原静态问题的解，其中前两项可以看作曲线的惯性力和粘滞力。



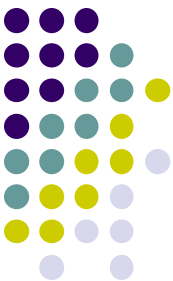


# 动态可变形模型

- 动态可变形模型的求解
  - 一般的方法式将几何模型 $v$ 表示为局部或全局基函数的线性组合（利用有限元法，有限差分法，或者样条函数法等），然后将问题转化为求解线性参数。
  - 一般的形式为 
$$E(u) = \frac{1}{2} u^T K u + P(u)$$

其中 $K$ 叫做刚性矩阵。最后的方程可以化为一个二次常微分形式

$$M\ddot{u} + D\dot{u} + Ku = f$$



# Problem of traditional snake

- Capture range
- Poor convergence

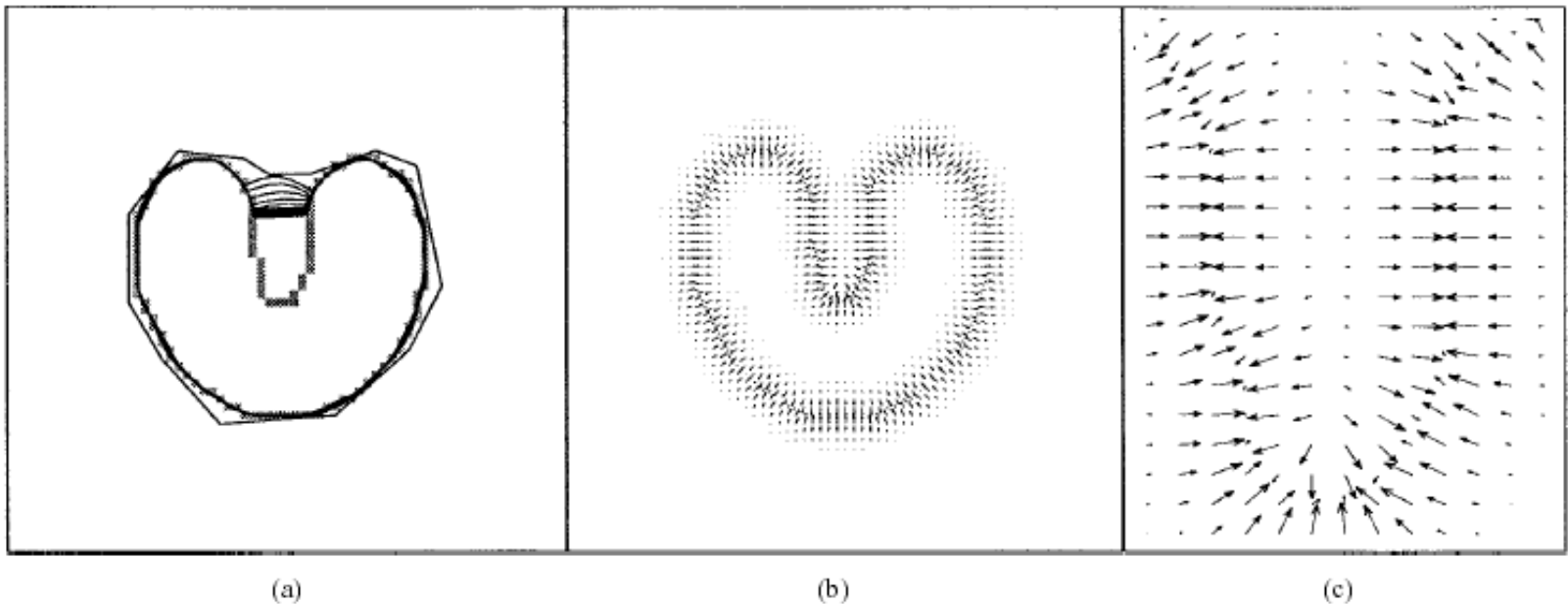
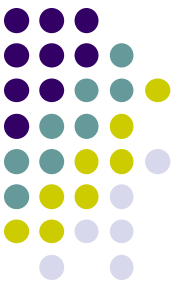


Fig. 1. (a) Convergence of a snake using (b) traditional potential forces, and (c) shown close-up within the boundary concavity.



# External force---balloons

- L.D.Cohen and I.Cohen, 1993
- Push the curve outward  $F = k_1 \vec{n}(s) - k \frac{\nabla P}{\|\nabla P\|} (v(s)) \quad (0 < k_1 < k < 1)$
- Problem: Poor convergence

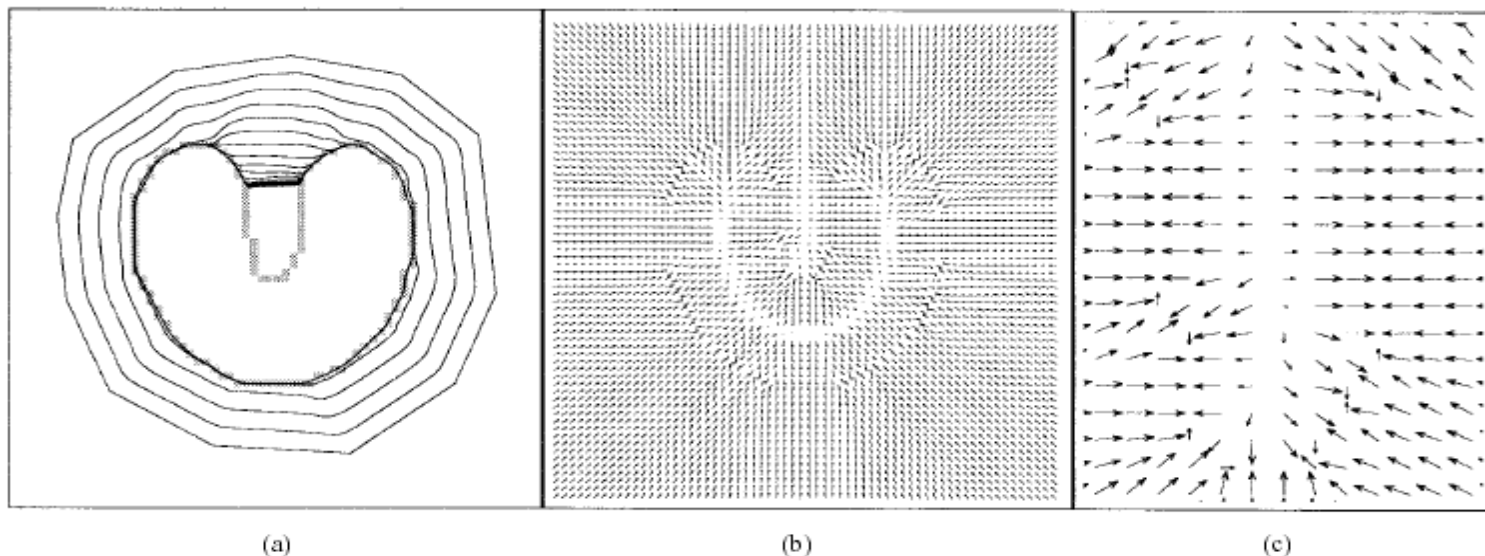
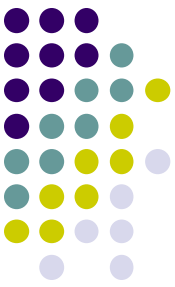


Fig. 2. (a) Convergence of a snake using (b) distance potential forces, and (c) shown close-up within the boundary concavity.



# External force---GVF

- C Xu and J.L.Prince,1998
- GVF(gradient vector flow):

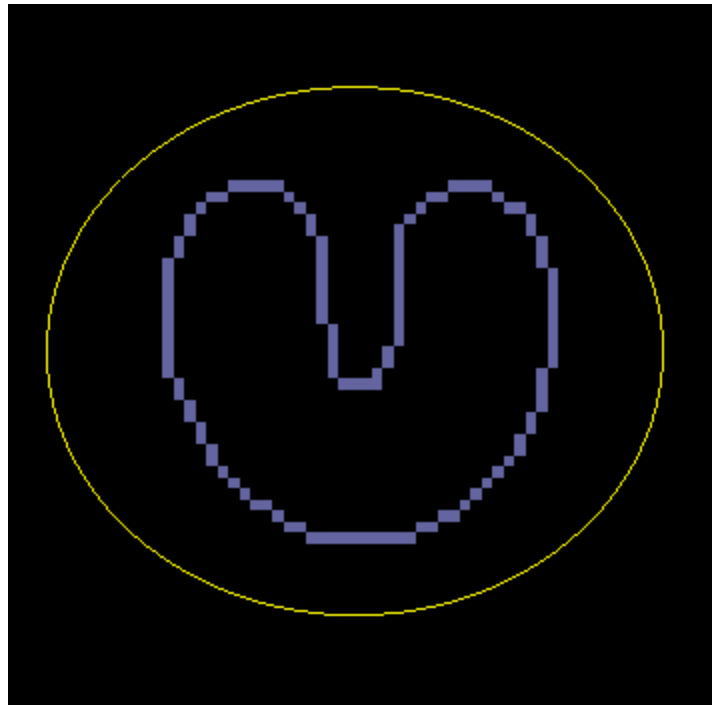
$$F_{ext}^{(g)} = v(x, y)$$

- Edge map:

$$f(x, y) = -E_{ext}^{(g)}(x, y)$$

- Energy minimize:

$$E = \iint \mu(u_x^2 + u_y^2 + v_x^2 + v_y^2) + |\nabla f|^2 |v - \nabla f|^2 dx dy$$





# Result

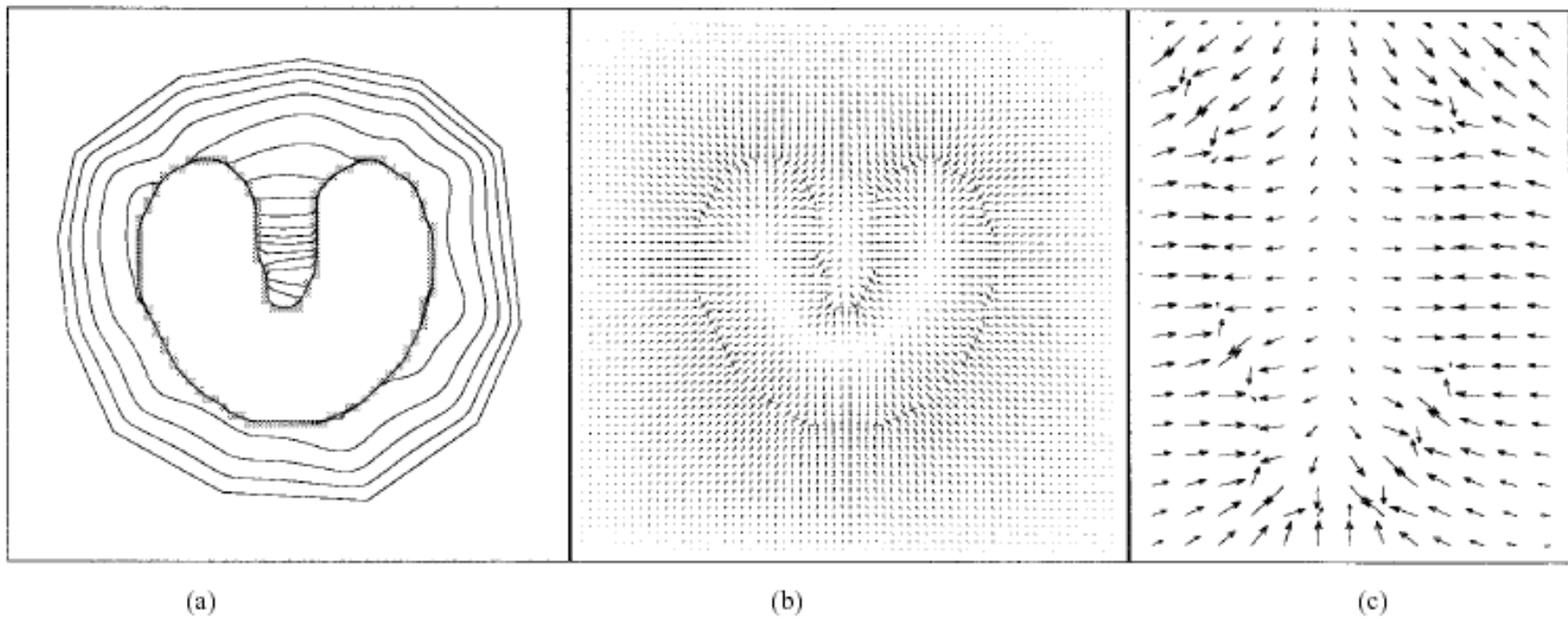
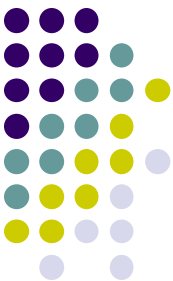
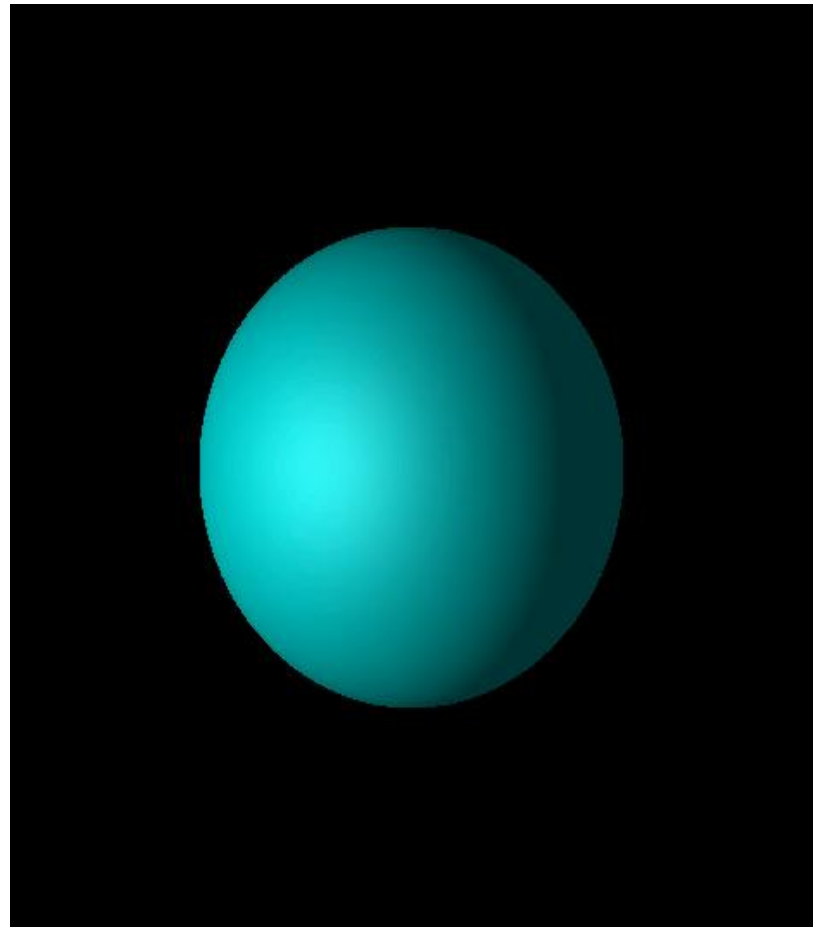


Fig. 3. (a) Convergence of a snake using (b) GVF external forces, and (c) shown close-up within the boundary concavity.



## More about snake...

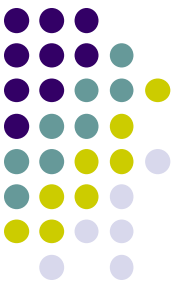
- Can't change topology
- Other model:
  - **Snakes with Topology Control**  
-----*Stephan Bischoff, Leif Kobbelt*
- Higher dimension:
  - GVF—C.Xu,98
  - L.Cohen,95
  - ...



# 目录



- 数学基础
  - 微分几何简介
  - 数学形态学
  - 隐函数, 距离函数
- Level Set 方法概念
- 数值解法
  - 向上差分法
  - Hamilton-Jacobi ENO
  - Hamilton-Jacobi WENO
  - TVD Runge-Kutta
- Level set 与变分方程的关系



# Level Set – 水平集

- Level set 的数学定义

假设隐函数  $\varphi(x, t)$  表示一个高维空间的方程，其在低维空间上的接触面为  $\varphi(x, t) = 0$ ，其中

$$x = (x_1, x_2, \dots, x_n) \in R^n$$

则 level set 方程  $\Gamma(t)$  有如下的性质，其中接触面表示为

$$\varphi(x, t) < 0 \quad \text{for } x \in \Omega$$

$$\varphi(x, t) > 0 \quad \text{for } x \notin \overline{\Omega}$$

$$\varphi(x, t) = 0 \quad \text{for } x \in \partial\Omega = \Gamma(t)$$

## The Level Set Method

- Let us consider in the most general case the following form of curve propagation:

$$C(p, t) = F(\mathcal{K})\mathcal{N}$$

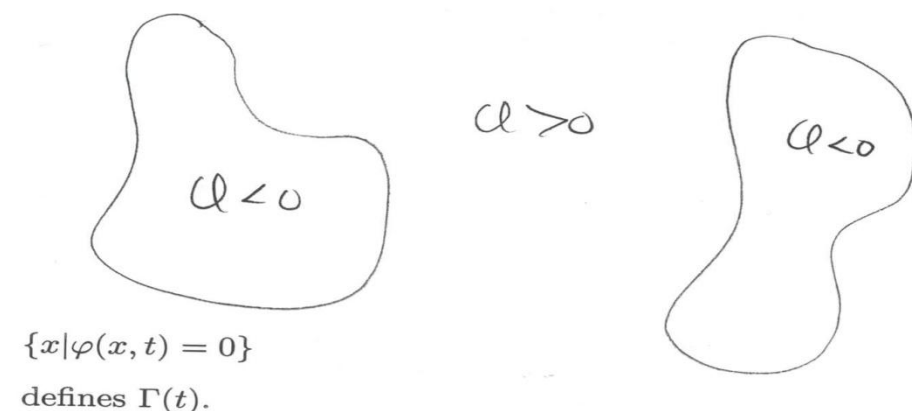
- Addressing the problem in a higher dimension...

- The level set method represents the curve in the form of an implicit surface:

$$\varphi(x, y, t) : \mathcal{R}^2 \times [0, T] \rightarrow \mathcal{R}$$

- That is derived from the initial contour according to the following condition:

$$C(p, 0) = \{(x, y) : \varphi(x, y, 0) = 0\}$$

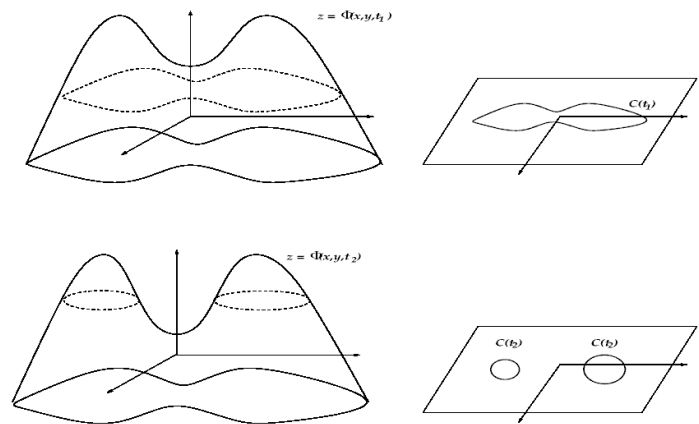


## The Level Set Method

- Construction of the implicit function

$$C(p, 0) = \{(x, y) : \varphi(x, y, 0) = 0\}$$

$$C(p, t) = \{(x, y) : \varphi(x, y, t) = 0\}, C(t) = \varphi^{-1}(0)$$



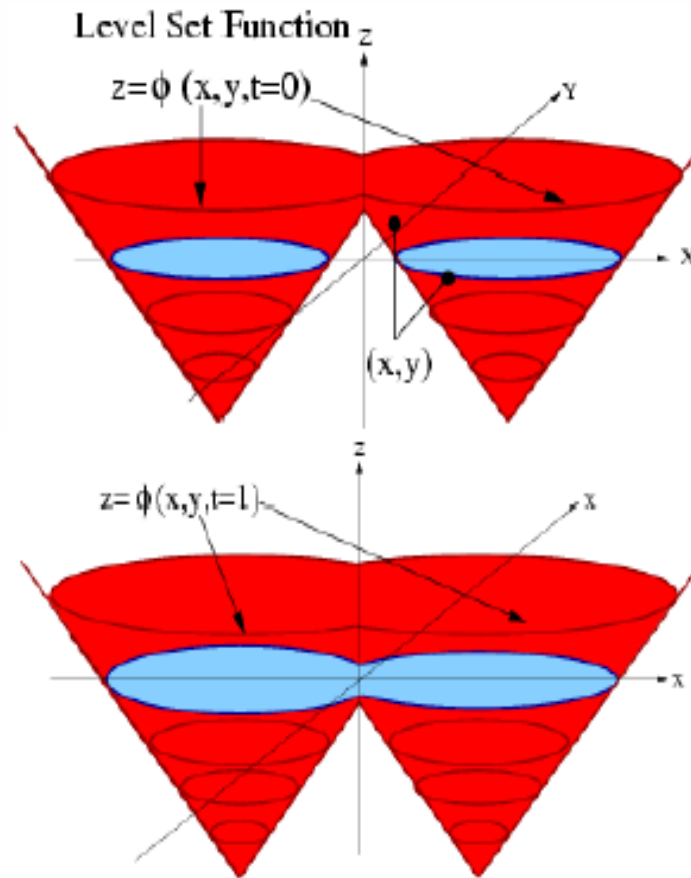
- And taking the derivative with respect to time (using the chain rule)

$$\varphi(C(t), t) = 0 \Rightarrow \frac{\partial \varphi}{\partial C} \cdot \underbrace{\frac{\partial C}{\partial t}}_{FN} + \underbrace{\frac{\partial \varphi}{\partial t}}_{\varphi_t} = 0 \quad (1)$$

- And we are DONE...

## What is Level Set

- Adding an extra dimension to the problem



The level set function:

$$z = \Phi(x, y, t)$$

Contour at time  $t$ :

$$0 = \Phi(x, y, t)$$

The level set PDE:

$$\Phi_t + F|\nabla\Phi| = 0$$

given  $\Phi(x, y, t=0)$

## Evolving the level set

- Initialization of  $\emptyset$ :

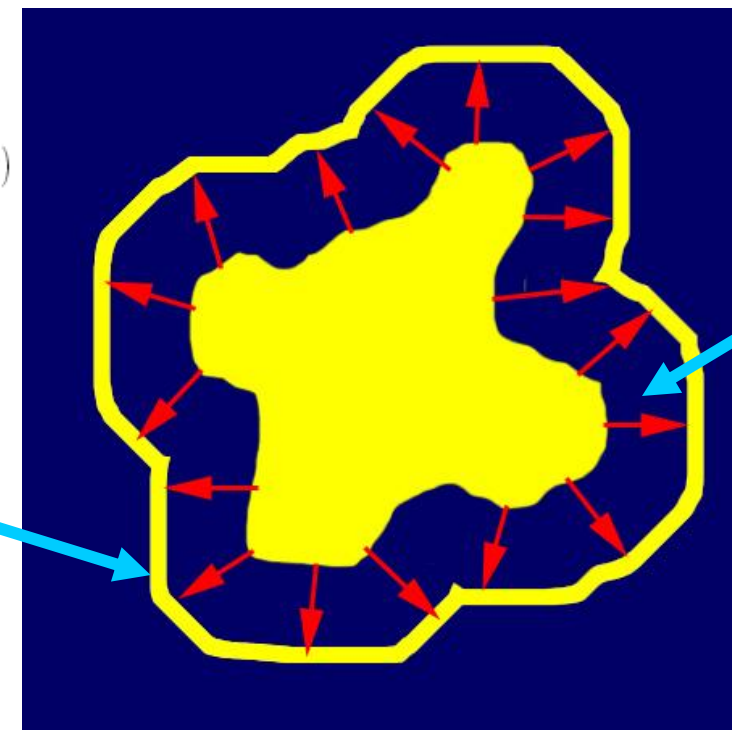
$$\psi(x, t=0) = \pm d$$

$$\varphi(x, t) > 0 \text{ for } x \in \Omega$$

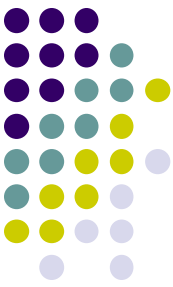
$$\varphi(x, t) < 0 \text{ for } x \notin \bar{\Omega}$$

- $\Pr \varphi(x, t) = 0 \text{ for } x \in \partial\Omega = \Gamma(t)$

New front



Add:  
 $F|\nabla\Phi|$   
(velocity)



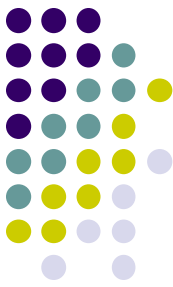
# Level Set – 水平集

- Level set 的运动可以表示为

$$\frac{\partial \varphi}{\partial t} + \nu \cdot \nabla \varphi = 0$$

- 假设  $\nu_N = \nu \cdot \frac{\nabla \varphi}{|\nabla \varphi|}$  则上式成为

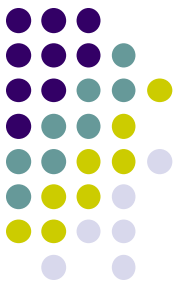
$$\frac{\partial \varphi}{\partial t} + \nu_N |\nabla \varphi| = 0$$



# Level Set — 水平集

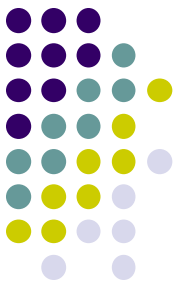
- Level set 方法的几何意义很直观：
  - 给定一个高维空间在低维空间 ( $n$ 维) 定义上的接触面，分析和计算其边界在速度 $v$ 下的运动轨迹
  - 速度 $v$ 是与位置，时间和接触面的几何形状有关的（如平均曲率，法向），还有外部的物理作用力。

(UCLA的Osher和Sethian首先提出了这个方法)



# Level Set — 水平集

- 小结
  - Level set 方法实际上就是求解一个随时间变化的偏微分方程
$$\frac{\partial \varphi}{\partial t} + v_N |\nabla \varphi| = 0$$
  - 其中  $v_N$  表示可以是任何关于时间，位置，几何等量的函数。
  - 有时提到 Level set 方法是指其数值解方法
  - 应用Level set方法需要解决两个问题
    - 如何列出有意义的方程求解实际问题
    - 如何能快速、稳定地求出方程的数值解

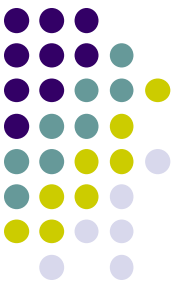


# Level Set—水平集

- 通常，演化速度 $F$ 含有三种成份：

$$\frac{\partial \varphi}{\partial t} = \mathbf{g}(\alpha + \beta k)\mathbf{n}, \quad \alpha, \beta \in R, \beta \geq 0$$

1. 与曲率相关的所谓扩散项起到保持曲线的光滑性的作用
2. 对流项为曲线演化提供动力支持
3. 速度衰减因子使速度在边缘轮廓处停止



# 边界检测和轮廓线提取

- 隐式动态轮廓模型
  - 用隐式模型可以跟踪拓扑变化的轮廓
  - 隐式轮廓线的微分方程表达为

$$\frac{\partial \varphi}{\partial t} = g(x) |\nabla \varphi| (\nabla \cdot \left( \frac{\nabla \varphi}{|\nabla \varphi|} \right) + k)$$
$$\varphi(x, 0) = \varphi_0(x)$$

- 注意轮廓不但被梯度驱动，而且被曲率驱动



# 边界检测和轮廓线提取— 隐式动态轮廓模型

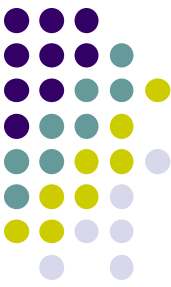
- 试验结果





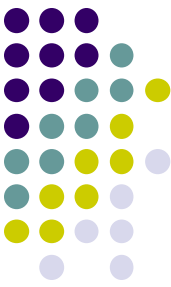
# Level Set – 水平集

- Level set 的主要优点就是其考虑了物体几何的一些更本质的特征（如曲率，梯度等），所以得到的结果能够比已有的一些其他方法要好。



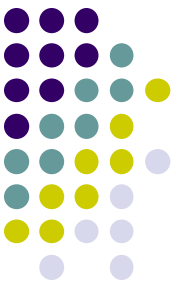
# 目录

- 数学基础
  - 微分几何简介
  - 数学形态学
  - 隐函数, 距离函数
- Level Set 概念
- Level set 的数值解法
  - 向上差分法
  - Hamilton-Jacobi ENO
  - Hamilton-Jacobi WENO
  - TVD Runge-Kutta
- Level set 与变分方程的关系



# Level set 的数值解法

- 几种差分方法的稳定性分析
  - 假设求解一阶一维方程  $u_t + au_x = 0, u(x,0) = u_0(x)$
  - 向前差分格式
$$u_j^{n+1} = u_j^n - ar(u_j^n - u_{j-1}^n)$$
  - 向后差分格式
$$u_j^{n+1} = u_j^n - ar(u_{j+1}^n - u_j^n)$$
  - 中心差分格式
$$u_j^{n+1} = u_j^n - ar(u_{j+1}^n - u_{j-1}^n) / 2$$



# Level set 的数值解法

- 向前差分格式的稳定性条件  $0 \leq ar \leq 1$
  - 向后差分格式的稳定性条件  $-1 \leq ar \leq 0$
  - 中心差分格式的稳定性条件 恒不稳定
- (稳定性条件的分析方法，如Von Neumann方法，参见数值分析的教材)



# Level set 的数值解法—CIR格式

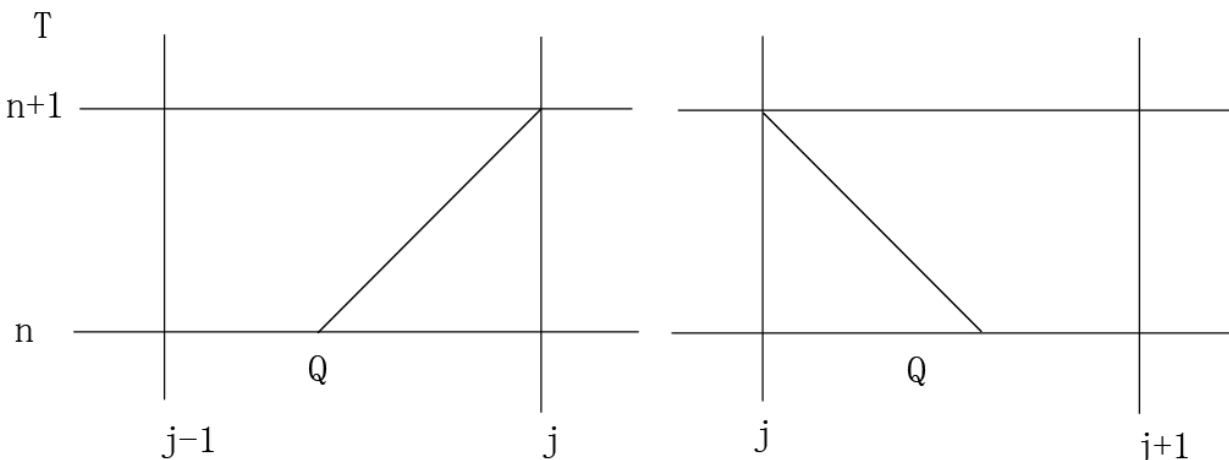
- 所以选择差分格式要根据 $a$ 的符号来判断

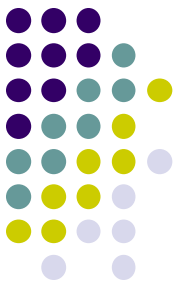
解为

$$u_j^{n+1} = \begin{cases} u_j^n - ar(u_j^n - u_{j-1}^n), & a \geq 0 \\ u_j^n - ar(u_{j+1}^n - u_j^n), & a < 0 \end{cases}$$

或

$$\frac{u_j^{n+1} - u_j^n}{\tau} + a^+ \frac{u_j^n - u_{j-1}^n}{h} - a^- \frac{u_{j+1}^n - u_j^n}{h} = 0$$





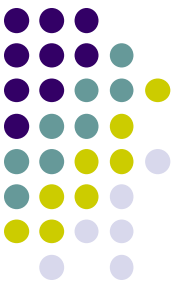
# Level set 的数值解法—CIR格式

- 其中

$$a^\pm = \frac{1}{2}(|a| \pm a)$$

上式称为Courant-Isaacson-Rees格式（CIR格式）

在求解其它类型的偏微分方程时也要用到类似的格式，不过分析其稳定性要复杂很多。

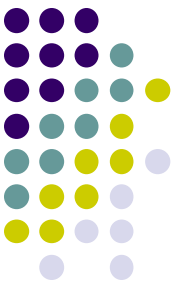


# Level set 的数值解法—LF格式

- 如果将中心差分格式的  $u_j^n$  替换为  $\frac{1}{2}(u_{j+1}^n + u_{j-1}^n)$  则得到Lax-Friedrichs格式

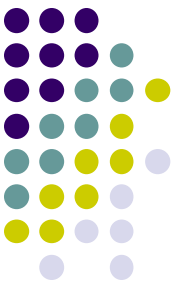
$$u_j^{n+1} = \frac{1}{2}(u_{j+1}^n + u_{j-1}^n) - \frac{ar}{2}(u_{j+1}^n - u_{j-1}^n)$$

其稳定性条件为  $|ar| \leq 1$



# 目录

- 数学基础
  - 微分几何简介
  - 数学形态学
  - 隐函数, 距离函数
- Level Set 概念
- Level set 的数值解法
  - Upwind 差分法
  - Hamilton-Jacobi ENO
  - Hamilton-Jacobi WENO
  - TVD Runge-Kutta
- Level set 与变分方程的关系

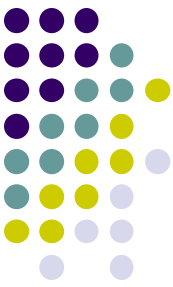


# Upwind 差分法

- 假设  $t^n = n\Delta t$

$$\boxed{\frac{\partial \varphi}{\partial t} + \nu \cdot \nabla \varphi = 0} \rightarrow \frac{\varphi^{n+1} - \varphi^n}{\Delta t} + \nu^n \cdot \boxed{\nabla \varphi^n} = 0$$

根据**CIR**格式，先考虑一维的情况，当 $\nu^n > 0$ 时，曲线从左往右移动，所以要用到 $\varphi_i^n$ 左边的值，即用向后差分来估计 $\nabla \varphi^n$ . 同理，当 $\nu^n < 0$ 时，用向前差分。



# Upwind 差分法

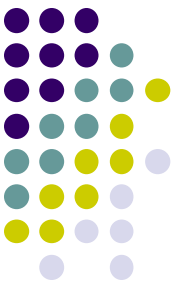
- 算法的精度

$$O(\Delta x)$$

- 算法的稳定条件

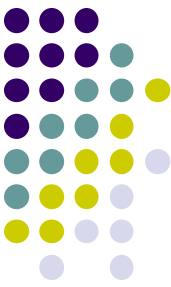
$$\Delta t \max\left\{\frac{|\nu_x|}{\Delta x} + \frac{|\nu_y|}{\Delta y} + \frac{|\nu_z|}{\Delta z}\right\} \in (0,1)$$

可见 *upwind* 差分法虽然简单，但是精度不高，计算速度慢



# 目录

- 数学基础
  - 微分几何简介
  - 数学形态学
  - 隐函数, 距离函数
- Level Set 概念
- Level set 的数值解法
  - Upwind 差分法
  - Hamilton-Jacobi ENO
  - Hamilton-Jacobi WENO
  - TVD Runge-Kutta
- Level set 与变分方程的关系



# Hamilton-Jacobi ENO 方法

- ENO: Essentially Nonoscillatory (不波动, 不摇动)
- 基本思想: 用尽量光滑的多项式插值  $\varphi$  然后再求解  $\varphi_x$ 。用HJ ENO方法可以更精确地估计  $\varphi_x^+$  或者  $\varphi_x^-$ 。

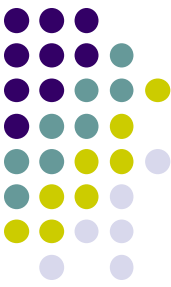
$$D_i^0 = \varphi_i$$

- 定义算子

$$D_{i+1/2}^1 \varphi = \frac{D_{i+1}^0 \varphi - D_i^0 \varphi}{\Delta x}$$

$$D_i^2 \varphi = \frac{D_{i+1/2}^1 \varphi - D_{i-1/2}^1 \varphi}{2\Delta x}$$

...



# Hamilton-Jacobi ENO 方法

- 上面的分步差分可以用来重建如下形式的插值多项式

$$\varphi(x) = Q_0(x) + Q_1(x) + Q_2(x) + Q_3(x)$$

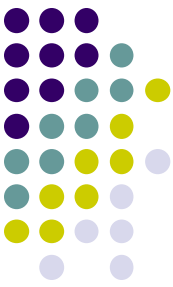
然后通过对  $\varphi(x)$  的求导可以得到  $\varphi_x^-$  或  $\varphi_x^+$  的估计值。

$$\varphi_x(x_i) = Q_1'(x_i) + Q_2'(x_i) + Q_3'(x_i)$$

- 例如，为了估计  $\varphi_x^-$ ，应该从  $k=i-1$  开始，为了估计  $\varphi_x^+$ ，应该从  $k=i$  开始。

然后定义

$$Q_1(x) = (D_{k+1/2}^1 \varphi)(x - x_i)$$



# Hamilton-Jacobi ENO 方法

即  $Q_1'(x) = D_{k+1/2}^1 \varphi$

得到  $\varphi_x$  的一阶精度估计（其形式是和upwind方法得到的形式是一样的）

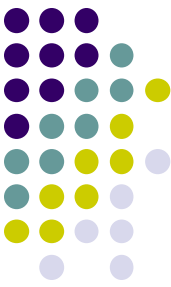
- 同样可以得到二阶和更高阶精度的估计。

二阶精度估计

$$Q_2'(x_i) = D_{k+1/2}^2 \varphi(2(i-k)-1)\Delta x$$

三阶精度估计  $k^* = k - 1$

$$Q_3'(x_i) = D_{k+1/2}^3 \varphi(3(i-k^*)^2 - 6(i-k^*)^2 + 2)(\Delta x)^2$$



# 目录

- 数学基础
  - 微分几何简介
  - 数学形态学
  - 隐函数, 距离函数
- Level Set 概念
- Level set 的数值解法
  - Upwind 差分法
  - Hamilton-Jacobi ENO
  - Hamilton-Jacobi WENO
  - TVD Runge-Kutta
- Level set 与变分方程的关系



# Hamilton-Jacobi WENO 方法

- WENO: Weighted ENO
- 当计算  $(\varphi_x^-)_i$  时，三阶精度的 HJ ENO 算法需要知道  $\{\varphi_{i-3}, \varphi_{i-2}, \varphi_{i-1}, \varphi_i, \varphi_{i+1}, \varphi_{i+2}\}$  的值，共有 3 种 HJ ENO 估计  $(\varphi_x^-)_i$  的方法。定义

$$v_1 = D^- \varphi_{i-2}$$

则三种估计为

$$v_2 = D^- \varphi_{i-1}$$

$$\varphi_x^1 = \frac{v_1}{3} - \frac{7v_2}{6} + \frac{11v_3}{6}$$

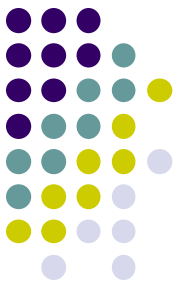
$$v_3 = D^- \varphi_i$$

$$\varphi_x^2 = -\frac{v_2}{3} + \frac{5v_3}{6} + \frac{v_4}{3}$$

$$v_4 = D^- \varphi_{i+1}$$

$$\varphi_x^3 = \frac{v_3}{3} + \frac{5v_4}{6} - \frac{v_5}{6}$$

$$v_5 = D^- \varphi_{i+2}$$

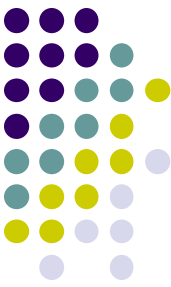


# Hamilton-Jacobi WENO 方法

- HJ ENO方法的目的就是从上面3个估计中选出一个最光滑的多项式逼近。
- 后来有人提出这种HJ ENO方法可以进一步通过将3个式子加权来提高精度。
- WENO的形式可以写成

$$\varphi_x = w_1 \varphi_x^1 + w_2 \varphi_x^2 + w_3 \varphi_x^3, \quad w_1 = 0.1, w_2 = 0.6, w_3 = 0.3$$
$$w_1 + w_2 + w_3 = 1, \quad 0 \leq w_i \leq 1$$

可以证明对光滑区域可以达到5阶精度！



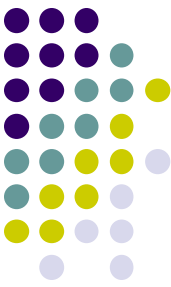
# 目录

- 数学基础
  - 微分几何简介
  - 数学形态学
  - 隐函数, 距离函数
- Level Set 概念
- Level set 的数值解法
  - Upwind 差分法
  - Hamilton-Jacobi ENO
  - Hamilton-Jacobi WENO
  - TVD Runge-Kutta
- Level set 与变分方程的关系



# TVD Runge-Kutta 方法

- 前面提到的HJ ENO 和 HJ WENO可以达到5阶精度，向前Euler算法（Upwind算法）只能达到1阶精度。
- 用TVD RK方法可以达到更高阶的精度
- TVD: total variation diminishing
- 一阶TVD RK就是向前Euler算法。
- 二阶TVD RK和二阶RK算法相似。



# TVD Runge-Kutta 方法

- 三阶TVD RK算法

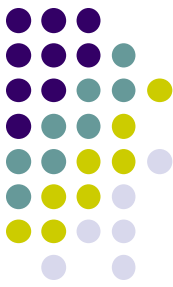
$$\frac{\varphi^{n+1} - \varphi^n}{\Delta t} + v^n \cdot \nabla \varphi^n = 0$$

$$\frac{\varphi^{n+2} - \varphi^{n+1}}{\Delta t} + v^{n+1} \cdot \nabla \varphi^{n+1} = 0$$

$$\varphi^{n+1/2} = \frac{3}{4} \varphi^{n+1} + \frac{1}{4} \varphi^{n+2}$$

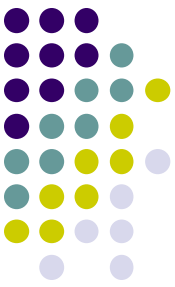
$$\frac{\varphi^{n+3/2} - \varphi^{n+1/2}}{\Delta t} + v^{n+1/2} \cdot \nabla \varphi^{n+1} = 0$$

$$\varphi^{n+1} = \frac{1}{3} \varphi^n + \frac{2}{3} \varphi^{n+3/2}$$



# TVD Runge-Kutta 方法

- 虽然4阶以上的TVD RK方法存在，但在实际应用中在时间上的精度的提高并不会对结果有太大的改进，而且从计算复杂性上考虑会得不偿失。



# 求解Level set的数值方法小结

- Level set 的一般形式可以表达为

$$\frac{\partial \varphi}{\partial t} + v \cdot \nabla \varphi = 0$$

$$v = a(x) \cdot \nabla \varphi - \mu(x) \nabla \cdot \left( \frac{\nabla \varphi}{|\nabla \varphi|} \right)$$

其中  $a(x) \cdot \nabla \varphi$  称为对流项,  $\nabla \cdot \left( \frac{\nabla \varphi}{|\nabla \varphi|} \right)$  为曲率。

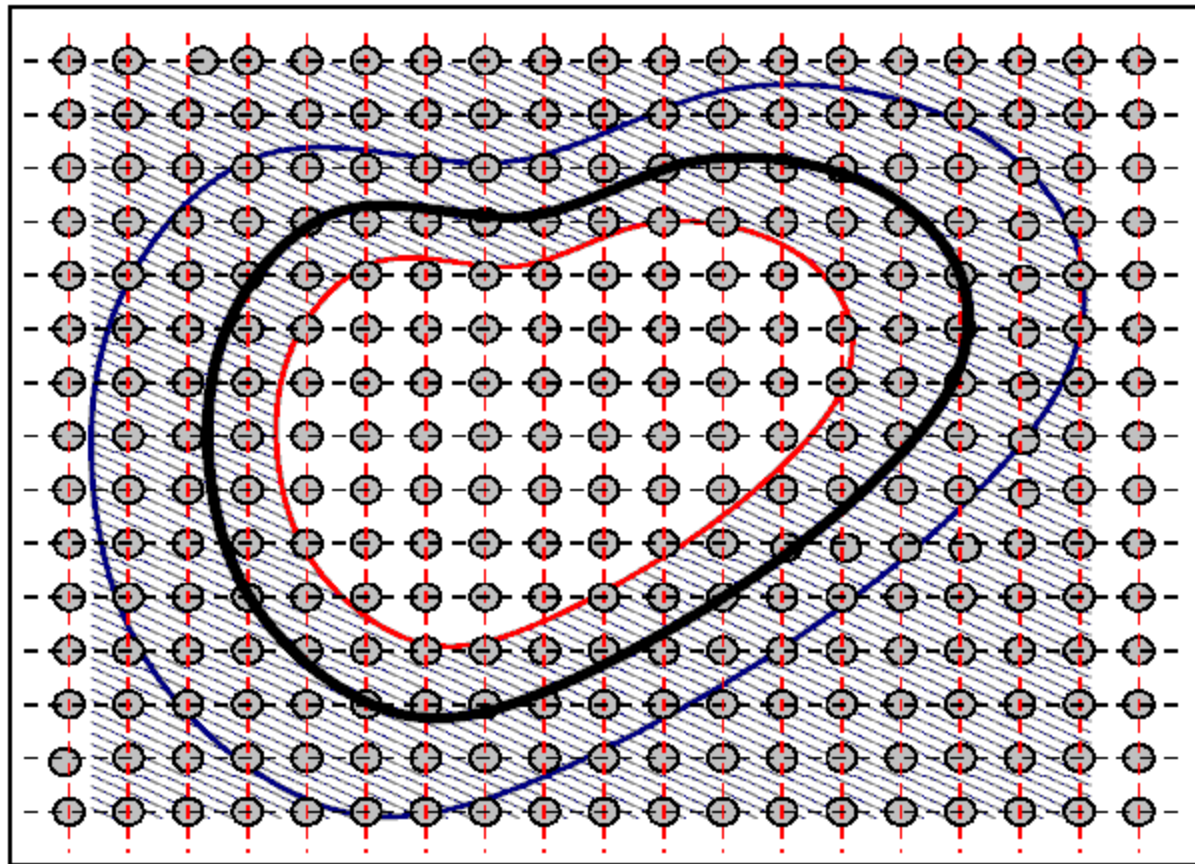


# 求解Level set的数值方法小结

- 求解该方程一般分为3步
  - 用ENO,WENO或upwind方法求解对流项。
  - 用中心差分的方法估算曲率。
  - 用TVD RK方法来求解。



# 更高级的解法？！？



*Outward Band*  
 $\Phi(s) = +d$

*Front Position*  
 $\Phi(s) = 0$

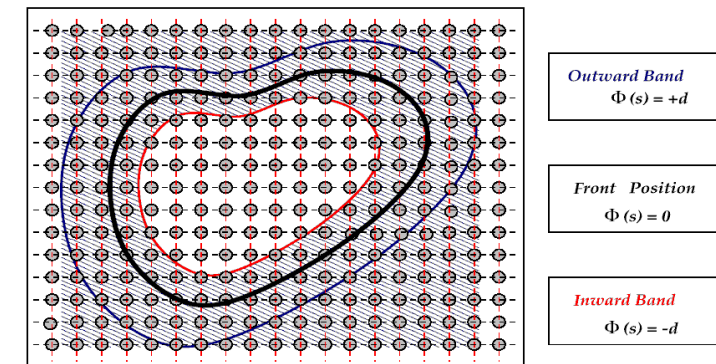
*Inward Band*  
 $\Phi(s) = -d$

# From theory to Practice (Narrow Band)

[Chop:93, Adalsteinsson-Sethian:95]

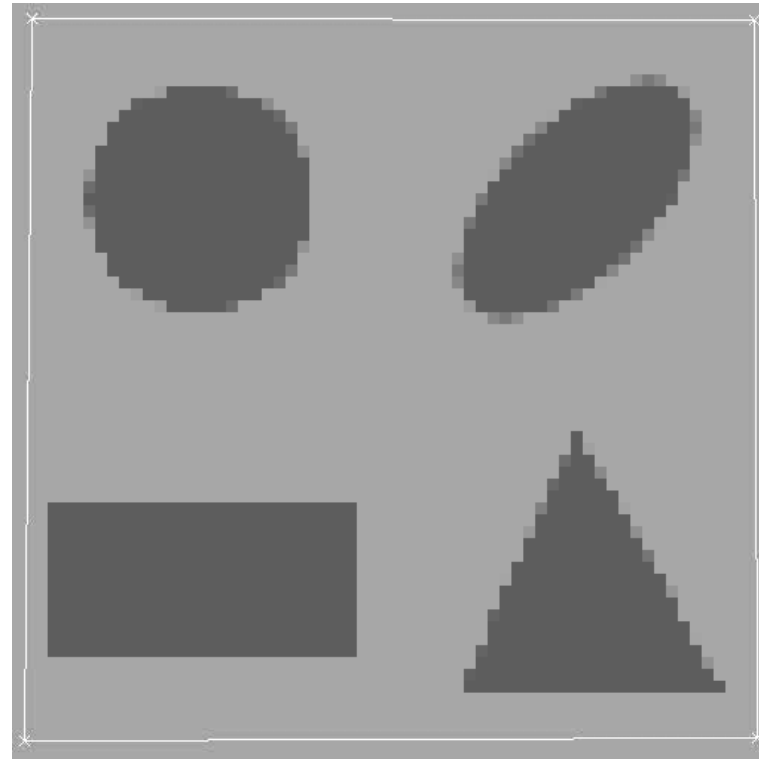
- Central idea: we are interested on the motion of the zero-level set and not for the motion of each iso-phot of the surface

- Extract the latest position
- Define a band within a certain distance
- Update the level set function
- Check new position with respect the limits of the band
- Update the position of the band regularly, and re-initialize the implicit function

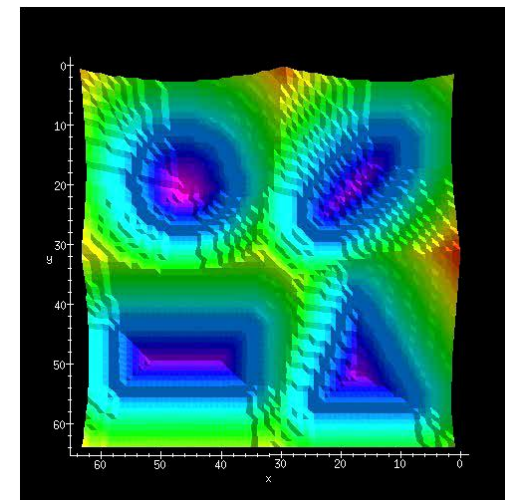
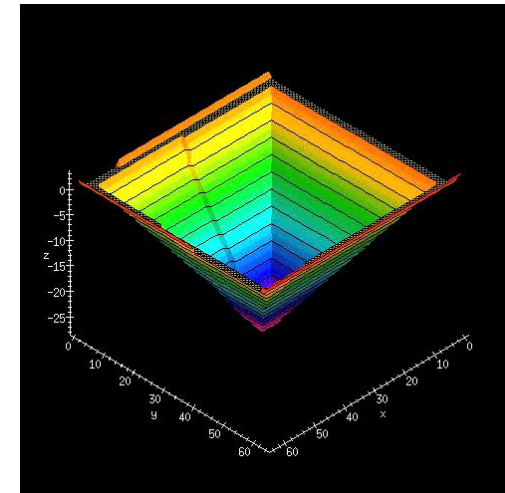


- Significant decrease on the computational complexity, in particular when implemented efficiently and can account for any type of motion flows

## Narrow Band (the basic derivation)



Results are courtesy: R. Deriche



## Handling the Distance Function

- The distance function has to be frequently re-initialized...
  - Extraction of the curve position & re-initialization:
    - Using the marching cubes one can recover the current position of the curve, set it to zero and then re-initialize the implicit function: the Borgefors approach, the Fast Marching method, explicit estimation of the distance for all image pixels...
    - Preserving the curve position and refinement of the existing function (Susman-smereka-oshier:94)
  - Modification on the level set flow such that the distance transform property is preserved (gomes-faugeras:00)
    - Extend the speed of the zero level set to all iso-photos, rather complicated approach with limited added value?

# From theory to Practice (Fast Marching)

[Tsitsiklis:93, Sethian:95]

- Central idea: “move” the curve one pixel in a progressive manner according to the speed function while preserving the nature of the implicit function
- Consider the stationary equation  $F |\nabla T| = 1$  ·
- Such an equation can be recovered for all  $\left[ \frac{\partial C}{\partial t} = F \mathcal{N} \right]$  flows where the speed function has one sign (either positive or negative), propagation takes place at one direction
- If  $T(x,y)$  is the time when the implicit function reaches  $(x,y)$ :

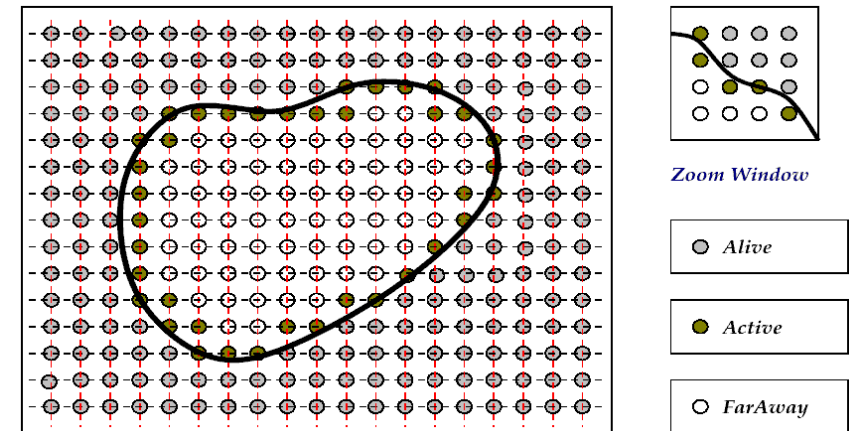
$$\begin{aligned} T(C(p,t)) &\stackrel{\triangle}{=} t \Rightarrow \nabla T \cdot C_t = 1 \\ &\Rightarrow \nabla T \cdot \left( F \frac{\nabla T}{|\nabla T|} \right) = 1 \\ &\Rightarrow F |\nabla T| = 1 \end{aligned}$$

## Fast Marching (continued)

- Consider the stationary equation  $F |\nabla T| = 1 \cdot$  in its discrete form:

$$\frac{1}{F_{\{i,j\}}^2} = \max(D_{\{i,j\}}^{-x} T, 0)^2 + \min(D_{\{i,j\}}^{+x} T, 0)^2 + \max(D_{\{i,j\}}^{-y} T, 0)^2 + \min(D_{\{i,j\}}^{+y} T, 0)^2$$

- And using the assumption that the surface propagates in one direction, the solution can be obtained by outwards propagation from the smallest T value...



- active pixels, the curve has already reached them
- alive pixels, the curve could reach them at the next stage
- far away pixels, the curve cannot reach them at this stage

# Fast Marching (continued)

## □ INITIAL STEP

- Initialize  $[T = 0]$  for the all pixels of the front (**active**), their first order neighbors **alive** and the rest **far away**
- For the first order neighbors,  
estimate the arrival time according to:  $[T_{\{i,j\}} = \frac{1}{F_{\{i,j\}}}]$
- While for the rest the crossing time is set to infinity  $[T_{\{i,j\}} = \infty]$

## □ PROPAGATION STEP

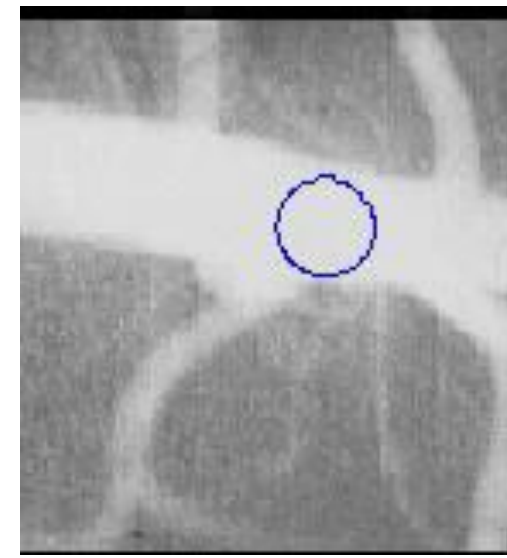
- Select the pixel with the lowest arrival time from the **alive** ones
- Change his label from **alive** to **active** and for his first order neighbors:
  - If they are **alive**, update their T value according to

$$\frac{1}{F_{\{i,j\}}} = \max \left( D_{\{i,j\}}^{-x} T, 0 \right)^2 + \min \left( D_{\{i,j\}}^{+x} T, 0 \right)^2 + \max \left( D_{\{i,j\}}^{-y} T, 0 \right)^2 + \min \left( D_{\{i,j\}}^{+y} T, 0 \right)^2$$

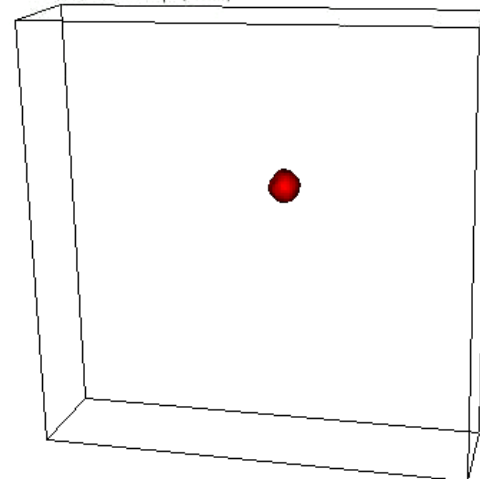
- If they are **far away**, estimate the arrival time according to:  $[T_{\{i,j\}} = \frac{1}{F_{\{i,j\}}}]$

## Fast Marching Pros/Cons, Some Results

- Fast approach for a level set implementation
- Very efficient technique for re-setting the embedding function to be distance transform
- Single directional flows, great importance on initial placement of the contours
- Absence of curvature related terms or terms that depend on the geometric properties of the curve...
- Results are courtesy: J. Sethian, R. Malladi, T. Deschamps, L. Cohen



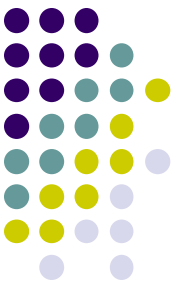
Thomas Deschamps(2003)





# 目录

- 数学基础
  - 微分几何简介
  - 数学形态学
  - 隐函数, 距离函数
- Level Set 概念
- Level set 的数值解法
  - Upwind 差分法
  - Hamilton-Jacobi ENO
  - Hamilton-Jacobi WENO
  - TVD Runge-Kutta
- Level set 与变分方程的关系



# Level set 与变分方程的关系

- 考虑Poisson方程的Dirichlet问题

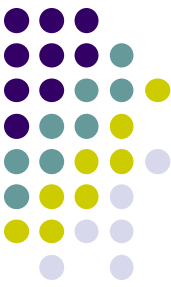
$$\begin{cases} -\Delta u = f(x), & x \in \Omega \\ u = \varphi(x), & x \in \partial\Omega \end{cases}$$

定义能量函数

$$I[w] = \int_{\Omega} \left( \frac{1}{2} |Dw|^2 - wf \right) dx$$

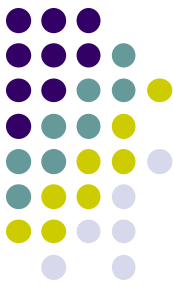
- Dirichlet原理:

$$I(u) = \min_{w \in A} I[w]$$



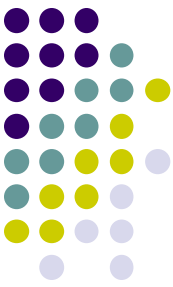
# Level set 与变分方程的关系

- 一般的，假定  $Au = f(x)$  是线性偏微分方程，则  $F(u) = (Au, u) - 2(u, f)$  的极小函数为  $Au = f(x)$  的解。其中  $(*, *)$  表示任何Banach空间算子。
- 对于很多偏微分方程，一般都可以找到一个与之对应的变分方程，其中边界值可以通过Green公式化简到内部积分。



# Level set 与变分方程的关系

- 对于大多数变分方程，也可以通过Lagrange公式化归为相应的偏微分方程求解。
- 在后面的应用中我们可以看到很多问题都是先列出变分方程，再求解对应的偏微分方程得到 Level set 方程的。



# Level set 与变分方程的关系

- 例(Total Variation模型):

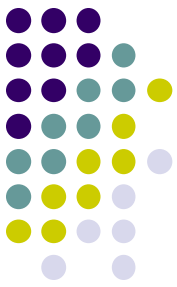
$$F(u) = \int |\nabla u| dx + \lambda \int |f - u|^2 dx$$

用Euler-Lagrange方程化为偏微分方程为

$$u = f + \frac{1}{2\lambda} \nabla \cdot \left( \frac{\nabla u}{|\nabla u|} \right)$$

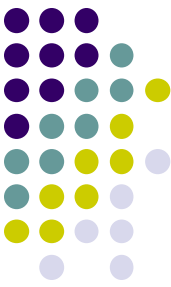
问题的求解可以化为Level set演化的形式，即

$$u_t = -(u - f) + \frac{1}{2\lambda} \nabla \cdot \left( \frac{\nabla u}{|\nabla u|} \right)$$



# 小结

- **Level Set** 方法可以看作是一类带时间的偏微分方程框架，其意义不仅是其有很多的应用，而且对这一类方程的求解的方法也是其受到广泛重视的重要原因。



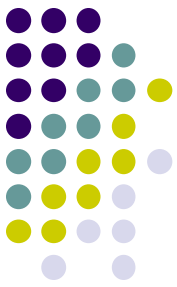
# 参考资源

- Level set 的Matlab 工具箱

<http://www.cs.ubc.ca/~mitchell/ToolboxLS/>

用matlab实现了三种数值算法

- 有好的C++语言实现的Level Set工具箱吗？



# 参考文献

- [1] Stanley Osher and Ronald Fedkiw. *Level Set Methods and Dynamic Implicit Surfaces*. Springer-Verlag (2002).
- [2] James A. Sethian. *Level Set Methods and Fast Marching Methods*. Cambridge University Press (1999).
- [3] J.A. Sethian. Level Set Methods: Evolving interfaces in geometry, fluid mechanics, computer vision, and materials science. Cambridge University Press(1996).